

Juha Vainio

Vallitsevien sääolosuhteiden tallennus reittiliikenteessä

Opinnäytetyö

Merenkulun koulutusohjelma

Huhtikuu 2016



Tekijä/Tekijät	Tutkinto	Aika
Juha Vainio	Merenkulkualan insinööri	Huhtikuu 2016
Opinnäytetyön nimi		
Vallitsevien sääolosuhteiden tallennus reittiliikenteessä		47 sivua 18 liitesivua
Toimeksiantaja		
Oy Viking Line Ab		
Ohjaaja		
Lehtori Ari Helle		
Tiivistelmä		
<p>Tämän insinöörityön tarkoituksena oli kehittää automaattinen säätiloja rekisteröivä laite yksinkertaistamaan m/s Gabriellan matkaraportin täyttöö. Kerättävät tiedot koskevat ennen kaikkea matkalla vallinneita keskimääräisiä tuulen suunta- ja nopeustietoja. Myös aallokkotietoa oli tarkoitus havainnoida. Se ei yksiselitteisesti ole ainoastaan aallokon korkeustieto, vaan koostuu muistakin optimaaliseen ajonopeuteen vaikuttavista tekijöistä. Saatuja sääitietoja käytetään osaltaan mm. ajotekniikan ja polttoainetalouden keskinäisten vaikutus suhteiden arvioimiseen. Tuulen suuntaa ja nopeutta koskevat muuttujat määritettiin primääritavoitteiksi ja aallokkoa koskeva sekundääritavoitteeksi sen huomattavan kompleksisuutensa vuoksi.</p> <p>Työn laitealustaksi valittiin Arduino-mikrokontrolleri sen edullisuuden, helpon saatavuuden ja runsaan oheismoduulitarjonnan ansiosta. Lisäksi esimerkkiohjelmistoja ja ohjelmakirjastoja tarvittaville lisämoduuleille oli saatavilla niin runsaasti, että usko työn tavoitteiden täyttämiseen oli riittävä.</p> <p>Työ on tyypiltään kokeellinen tutkimus, jossa rakennettu laite kerää sääitietoja itsenäisesti laivan järjestelmän rinnalla ja jatko kehittää automaattisesti analyysin kerätystä tiedosta. Kerättävää tietoa voidaan vertailla laivan järjestelmän antamaan tietoon, mutta analyysin tuloksia voidaan verrata vain teoreettisiin ja koejärjestelyin aikaansaatuihin tietoihin.</p> <p>Työn primääritavoitteet saavutettiin ja sekundäärisestä saatiin rohkaisevia tuloksia kehitystyön jatkamiseksi.</p>		
Asiasanat		
energiatehokkuus, automaatio, Arduino, sulautetut järjestelmät		

Author (authors)	Degree	Time
Juha Vainio	Bachelor of Marine Technology	April 2016
Thesis Title		
Automated Recording of Weather Conditions in Regular Ferry Service		47 pages 18 pages of appendices
Commissioned by		
Oy Viking Line Ab		
Supervisor		
Ari Helle, Senior Lecturer		
Abstract		
<p>The purpose of this thesis was to develop an automated device for the registration of weather conditions which were required in the m/s Gabriella's journey report. The conditions in question were both the mean wind speed and direction. Also, a wave analysis was to be created including not only the wave height but also other factors influencing the optimal driving speed as well. Weather information data will be used for example in the process of evaluating the dependencies between the steering techniques and fuel economy. The mean wind speed and direction were considered primary objectives and due to its complexity, the wave analysis a secondary objective.</p> <p>As a basis for the study, an Arduino microcontroller was chosen due to its excellent affordability, availability and broad selection of peripheral device modules. Also, the number of example codes and code libraries was so plentiful that it was assumed that the study would be able to meet the given objectives.</p> <p>This thesis is an experimental study where the device being built for the study collects weather data independently alongside the system of the ship and develops an automated analysis of the data. This data can be compared with the system data of the ship, but the results of the analysis can be compared only with theoretical results and the data gathered in an experimental set-up situation.</p> <p>As a result, the primary objectives were achieved and some promising data was gathered for the secondary objective to support the continuation of the development process.</p>		
Keywords		
energy efficiency, automation, Arduino, embedded systems		

SISÄLLYS

1	JOHDANTO	8
2	INTERNATIONAL MARITIME ORGANIZATION IMO.....	10
2.1	Ship Energy Efficiency Management Plan (SEEMP).....	10
2.2	SEEMP:n tarkoitus.....	10
2.3	SEEMP-prosessin osat.....	11
2.3.1	Suunnittelu	11
2.3.2	Käyttöönotto.....	12
2.3.3	Seuranta	12
2.3.4	Arviointi ja kehitys	12
2.3.5	Tulosten julkistaminen ja raportointi	12
2.3.6	Käytännön menetöt	13
2.4	Apuohjelmia SEEMP kehitystyön tueksi	14
2.4.1	EMMA™ Advisory Suite	14
2.4.2	Sensorit.....	17
2.4.3	Sea State	20
3	AUTOMAATTINEN SÄÄOLOSUHTEIDEN TALLENNUS.....	22
3.1	Arduino	22
3.2	Komponenttien valinta	23
3.2.1	Suunniteltu laitekoonpano.....	23
3.2.2	Laitealusta Arduino Uno R3	24
3.2.3	Tuulen suunta- ja nopeusanturit.....	25
3.2.4	Arduino ethernet-shield	26
3.2.5	Kiihtyvyyssanturi	27
3.2.6	GPS - anturi	27
3.2.7	LCD - näyttö.....	28
3.3	Moduulien käyttämät protokollat	30
3.3.1	USB - sarjaliikenneprotokolla	30

3.3.2	I2C - protokolla.....	30
3.3.3	SPI - protokolla.....	31
3.3.4	Laitteen ohjelmointi	31
3.4	Komponenttien konseptitestaus.....	32
3.4.1	LCD - näyttö.....	32
3.4.2	Gyro / kiihtyvyyssanturi	32
3.4.3	GPS - moduuli.....	33
3.4.4	Ethernet / mikro SD / Web-serveri.....	33
3.5	Lopullinen ohjelman toiminta lyhyesti	34
3.5.1	Tuulen suunta	34
3.5.2	Tuulen nopeuden mittaus.....	35
3.5.3	True arvojen laskeminen.....	36
3.6	Lopullinen testaus.....	37
3.6.1	Anemometri ja tuuli-indeksi	37
3.6.2	True - arvot.....	37
3.6.3	Gyro - moduuli.....	38
4	JOHTOPÄÄTÖKSET	40
5	JATKOKEHITYS.....	41
5.1.1	Tuulen suunta ja voimakkuus.....	41
5.1.2	MPU-6050 kiihtyvyyssanturi ja Sea State	43
	LÄHTEET.....	44

LIITTEET

Liite 1. True-arvojen mittapöytäkirjat

Liite 2. Käyttöohje ruotsiksi

Liite 3. Ohjelmakoodi

LYHENTEET

CS	Chip Select
CSV	Comma Separated Values
EEIO	Energy Efficiency Operational Indicator
EMS	Emergency Schedules
GPS	Global Positioning System
HiD	Human interface Device
IDE	Integrated Development Environment
IEEC	International Energy Efficiency Certificate
IO	Input Output
IMO	International Maritime Organization
I2C / IIC	Inter-Integrated Circuit, sarjaliikenneväylä
LCD	Liquid Crystal Display
MARPOL	IMO:n ympäristönsuojelua koskeva sopimus
MEPC	IMO: Marine Environment Protection Committee
MEMS	Micro-Electro-Mechanical Systems
MISO	Master Input Slave Output (SPI)
MOSI	Master Output Slave Input (SPI)
NMEA	National Marine Electronics Association
SCK	Serial Clock (SPI)
SCL	Serial Clock (I2C / IIC)
SDA	Serial Data (I2C / IIC)
SEEMP	Ship Energy Efficiency Management Plan
SPI	Serial Peripheral Interface, sarjaliikenneväylä
SS	Slave Select (SPI)

STP	Shielded twisted pair
USB	Universal Serial Bus, sarjaliikenneväylä

1 JOHDANTO

Koko 2000 luvun ovat energiakysymykset merenkulussa olleet merkittävänä puheenaiheena ja teknisen kehityksen ohjaajana pyrittäessä kehittämään meriliikennettä kustannustehokkaaseen suuntaan. Vuosikymmenen vaihteessa etenkin alusten ympäristövaikutuksiin perustuvat kiristykset päästörajoituksiin sekä hintalapun muodostaminen mm. CO2 päästöille, saivat kansainvälisen merenkulkujärjestön IMO:n kehittämään ohjeistuksen alusten energiatehokkuuden seurantaan ja kehittämiseen. Vuoden 2013 alusta tämä Ship Energy Efficiency Management Plan tuli pakolliseksi kaikille aluksille. Suunnitelma luo yhtenevät puitteet menetelmille ja toiminnoille, joilla varustamot voivat tehostaa omia toimintojaan sekä optimoida ja kehittää alustensa käyttöä ja tekniikkaa ympäristön ja kestävän kehityksen vaatimukset huomioiden. Suunnitelma ei ota kantaa menetelmiin, joilla tietoa kerätään, eikä odota saatujen tulosten aina kehittyvän odotettuun suuntaan. Suunnitelman tarkoituksena ja fokuksena on selvittää aluksen kulloinkin energiatase ja että toimintoja pyritään tulosten pohjalta kehittämään. Sanktioitua on vain tämän seurannan ja kehitystyön laiminlyönti.

Uusissa aluksissa, joissa automaatio paljolti ohjaa ja säätää toimintoja, on myös raportoinnin automatisointi kehittynyt jopa reaaliaikaiseksi. Vanhemmissa laivoissa tietoa rekisteröidään paljon vielä käsin, kynän ja paperin välityksellä.

Tämän insinööriyön ensisijaisena tarkoituksena oli kehittää automaattinen säätiloja rekisteröivä laite m/s Gabriellan matkaraportin kyseisiä tietoja koskevaan osioon. Kerättävät tiedot koskivat ennen kaikkea matkalla vallinneita keskimääräisiä tuulen suunta- ja nopeustietoja. Myös aallokkotietoa oli tarkoitus havainnoida. Se ei yksiselitteisesti ole ainoastaan aallokon korkeus, vaan koostuu muistakin ajonopeuteen vaikuttavista tekijöistä. Saatuja säätietoja käytetään osaltaan mm. ajotekniikan ja polttoainetalouden keskinäisten vaikutus-suhteiden arvioimiseen. Tuulen suuntaa ja nopeutta koskevat muuttujat määritettiin primääritavoitteiksi ja aallokkoa koskeva sekundääritavoitteeksi sen huomattavan kompleksisuutensa vuoksi.

Työn laitealustaksi valittiin Arduino-mikrokontrolleri sen edullisuuden, helpon saatavuuden ja runsaan oheismoduulitarjonnan vuoksi. Lisäksi esimerkkioh-

jelmistoja ja ohjelmakirjastoja tarvittaville lisämoduuleille oli saatavilla niin runsaasti, että usko työn tavoitteiden täyttämiseksi oli riittävä.

Työn alussa perehdytään kansainvälisiin sopimuksiin, joihin varustamojen ja sen alusten energia tasetta seuraavat järjestelmät pohjautuvat. Seuraavaksi työssä tutustutaan uuden laivan automaatiojärjestelmään, joka toteuttaa sopimusten mukaista tiedon keruuta automaattisesti sekä osallistuu aktiivisesti käyttöparametrien optimointiin. Seuraavaksi tutustutaan muutamiin tämän automaatiojärjestelmän vaatimiin anturityyppeihin, niiden toimintaperiaatteisiin, sekä automaatiossa esiintyvien sulautettujen järjestelmien tiedonsiirtotapoihin. Loppuosassa työtä selvitetään rakennetun laitteen ohjelman toiminnallista osaa, komponenttitestauksen tuloksia sekä lopullisen tuotantolaitteen toimintaa ja tuloksia. Myös jatkokehitystä pohditaan saatujen tulosten pohjalta. Lisäksi arvioidaan harraste/opetuskäyttöön tarkoitettujen mikrokontrollereiden käyttökelpoisuutta projektityyppisissä kokeiluissa.

Lähdemateriaalina on käytetty kansainvälisiä sopimuksia, järjestelmävalmistajien esityksiä ja esitteitä. Myös aikakausjulkaisuja, web-julkaisuja ja muita oppinäytetöitä on käytetty teoriaosuuden tukena. Ohjelmointi osuuden tietolähteinä on käytetty alan kirjallisuutta, alan keskusteluforumeita ja omaa ammattitaitoa tietojen käsittelyssä ja ohjelmoinnissa.

2 INTERNATIONAL MARITIME ORGANIZATION IMO

Kansainvälinen merenkulkujärjestö International Maritime Organization eli lyhyesti IMO, on kansainvälinen, Yhdistyneiden Kansakuntien (YK) alainen jäsenvaltioidensa muodostama järjestö, jonka tehtävänä on luoda kattava säännöstö turvalliselle ja turvatulle, sekä luontoa ja työskentely-ympäristöä suojelevalle merenkulkualan toimintakulttuurille. On sovittu, että säännösten tulee olla toimintaa tehostava, tasapuolinen kaikille sekä jäsenvaltioittensa hyväksymä, että käyttöönotettava. (IMO 2016a.)

2.1 Ship Energy Efficiency Management Plan (SEEMP)

IMO julkisti 2009 ohjeen laivojen energiatehokkuutta seuraavan ja kehittävän työkalun Ship Energy Efficiency Management Plan (SEEMP) kehittämisestä (IMO 2011).

Vuonna 2012 työkalu oli vielä vapaaehtoinen, mutta tuli pakolliseksi jo vuoden 2013 tammikuun 1. päivänä osana MARPOL Annex VI:tta, uutena kappaleena: "Chapter 4, Regulations on energy efficiency of ships" ja toimii osana International Energy Efficiency Certificate (IEEC) sertifikaattia. Vuoden 2013 alusta lähtien tuli SEEMP löytyä kaikilta yli 400GT aluksilta kansainvälisessä liikenteessä, sekä uusilta että vanhoilta. (IMO 2012.)

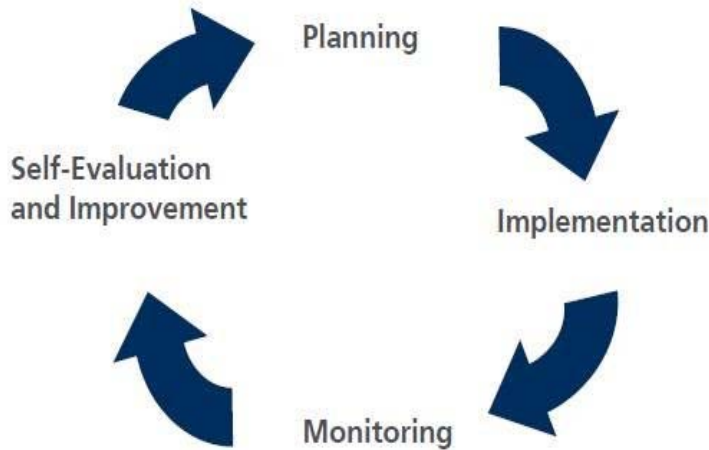
2.2 SEEMP:n tarkoitus

SEEMP-suunnitelma tulee olla osa varustamon toimintakulttuuria ja jokaiselle varustamon alukselle tulee laatia oma suunnitelmansa (IMO 2011).

SEEMP-suunnitelma tulisi nähdä työkaluna, jolla pyritään tehostamaan ei pelkästään aluksen polttoainetaloutta, vaan energia- ja käyttötehokkuutta kokonaisuutena. Näin toimien pyritään vaikuttamaan vähentäen aluksen luomaan ympäristökuormitukseen. SEEMP on aktiivinen dokumentti, jossa toiminnan suunnittelu, käyttöönotto, seuranta ja tulosten analysointi sekä jatkokehitystoimen seuraavat toisiaan keskeytyttäen. SEEMP-suunnitelma voi muodostaa osan aluksen turvallisuusjohtamisjärjestelmää Safety Management System SMS. (About Shipping 2012.)

2.3 SEEMP-prosessin osat

Prosessi koostuu neljästä pakollisesta ja yhdestä vapaaehtoisesta osasta, joita ovat suunnittelu, käyttöönotto, seuranta, arviointi ja kehitys, sekä vapaaehtoisena osana tulosten julkistaminen ja raportointi. Kuva 1 kuvaa prosessin jatkuvaa itseään toistavaa kehityskulkua. (About Shipping 2012.)



Kuva 1 SEEMP prosessiin vaiheet (About Shipping 2012.)

2.3.1 Suunnittelu

Lähtökohtana toiminnan kehittämiseksi on käydä läpi olemassa olevat käytännöt ja arvioida niiden toimivuus ja tehokkuus sekä energian, että resurssien järkevän käytön kannalta. Käytäntöjen arviointi jakaantuu osiin aluksittain, varustamon osalta, henkilöresurssien osalta ja tavoitteiden asetuksissa.

- Aluskohtaisia ovat mm. ajonopeuden optimointi, sääolojen huomioon otto reittisuunnittelussa, rungon huolto, koneisto-operaatioiden arviointi
- Varustamokohtaisia ovat informaation kulku laivojen ja satamien kanssa, lastauksen ja rahtauksen suunnittelu ja aikataulutus kokonaistoiminnan tehostamiseksi jne.
- Henkilöresurssien osalta henkilöstön tietoisuuden ja koulutuksen kehitys toiminnan kehittämiseksi, sekä toimet asetettujen tavoitteiden saavuttamiseksi
- Tavoitteiden asetus on vapaaehtoista, mutta toimii kannustimena järjestelmän jatkuvaan kehittämiseen

(About Shipping 2012.)

2.3.2 Käyttöönotto

Suunnittelun tuloksena kehitetään menetelmiä suunniteltujen tehtävien suorittamiseksi ja havaittujen puutteiden korjaamiseksi sekä nimetään vastuutahot kullekin toimelle. Tehtäväkuvaukset ja suoritettut toimenpiteet tulee dokumentoida kirjallisesti. (About Shipping 2012.)

2.3.3 Seuranta

Toiminnan tulosten seuranta on vaikea arvioida muutoin kuin kvantitatiivisilla eli määrällisillä menetelmillä ja se tulisikin tehdä hyväksi havaituilla, mieluummin kansainvälisiä standardeja käyttävillä mittareilla (About Shipping 2012).

IMO:n ohje MEPC.1/Circ.683 suosittaa käyttämään seurantaan sen asettamaa toista työkalua: Energy Efficiency Operation Indicator (EEIO). Siinä luodaan vertailuluvut energiatehokkuudesta käyttämällä CO₂ päästöjen määrää verrattuna lastitonniin ja kuljettuun merimailiin (g CO₂ / tn.nm). Tarkemmin käyttöä ja laskentatapaa selvitetään IMO dokumentissa MEPC.1/Circ.684. (IMO 2015b.)

2.3.4 Arviointi ja kehitys

Viimeisenä pakollisena vaiheena kierrossa on arviointimenetelmien kehittäminen ja saatujen tulosten taltiointi seuraavaa kehityskierrosta varten. Tarkoituksena ei ole vain saada selville, missä määrin toiminnan tehostaminen on vaikuttanut suotuisasti energiataseeseen vaan myös kertoa, kuinka tarkoituksenmukainen luotu seuranta- ja kehitysjärjestelmä on ja kuinka sitä voitaisiin edelleen kehittää. Kukin menetelmä tulee arvioida itsessään säännöllisesti ja saatuja tuloksia käyttää kunkin aluksen kehitystä arvioitaessa. (About Shipping 2012.)

2.3.5 Tulosten julkistaminen ja raportointi

Vaikkakin vapaaehtoista, voi tulosten julkistaminen olla eduksi varustamolle julkisuuskuvan ekologisuuden luomisessa ja käytännössä näkyä helpotuksina mm. satamamaksuissa. Myös ekologisuuttaan korostava kulutustavarateollisuus nähnee potentiaalia ”vihreiden” arvojensa esiintuonnissa koskien koko tuotantoketjuaan. (About Shipping 2012.)

2.3.6 Käytännön metodit

Eräs keskeisimpiä metodeja on polttoaineen kulutuksen optimointi mm. reittisuunnitelulla ja ajonopeuden säädöllä otettaessa muuttuvat sääolosuhteet huomioon. Myös satamakäyntien aikataulutus tarpeettomien odotusten välttämiseksi tulee huomioida. Tuotettua tehoa tarkkaillaan sekä akselitehona että laivan kokonaistehonkulutuksena, jossa pyritään optimoimaan myös hukkalämmön käyttö mahdollisuuksien mukaan. Trimmin vaikutuksia ja ballastin määrää seurataan kulutetun akselitehon ja saavutetun ajonopeuden suhteen. Pohja- ja potkuripintoihin kasvava merieliöstö lisää suuresti kitkaa ja aiheuttaa tehohäviöitä. Koska työsuunnitelma on aina laivakohtainen, tulee se tehdä yksilöllisesti kohta kohdalta. IMO antaa asiassa viitteellisen esimerkin siitä, kuinka lista voitaisiin kuvan 2 mukaisesti kohta kohdalta käydä läpi. Kuvan 2 taulukossa otsaketietojen jälkeen on vasemmalla aihealue, sitten suunniteltu toimenpide ja oikeassa laidassa nimetty vastuuhenkilö sekä lisätietoja. (IMO 2012.)

SHIP EFFICIENCY ENERGY MANAGEMENT PLAN

Name of Vessel:		GT:	
Vessel Type:		Capacity:	

Date of Development:		Developed by:	
Implementation Period:	From: Until:	Implemented by:	
Planned Date of Next Evaluation:			

1 MEASURES

Energy Efficiency Measures	Implementation (including the starting date)	Responsible Personnel
Weather Routing	<Example> Contracted with [Service providers] to use their weather routing system and start using on-trial basis as of 1 July 2012.	<Example> The master is responsible for selecting the optimum route based on the information provided by [Service providers].
Speed Optimization	While the design speed (85% MCR) is 19.0 kt, the maximum speed is set at 17.0 kt as of 1 July 2012.	The master is responsible for keeping the ship's speed. The log-book entry should be checked every day.

Kuva 2 IMO:n SEEMP ohjeen esimerkki (IMO 2012)

2.4 Apuohjelmia SEEMP kehitystyön tueksi

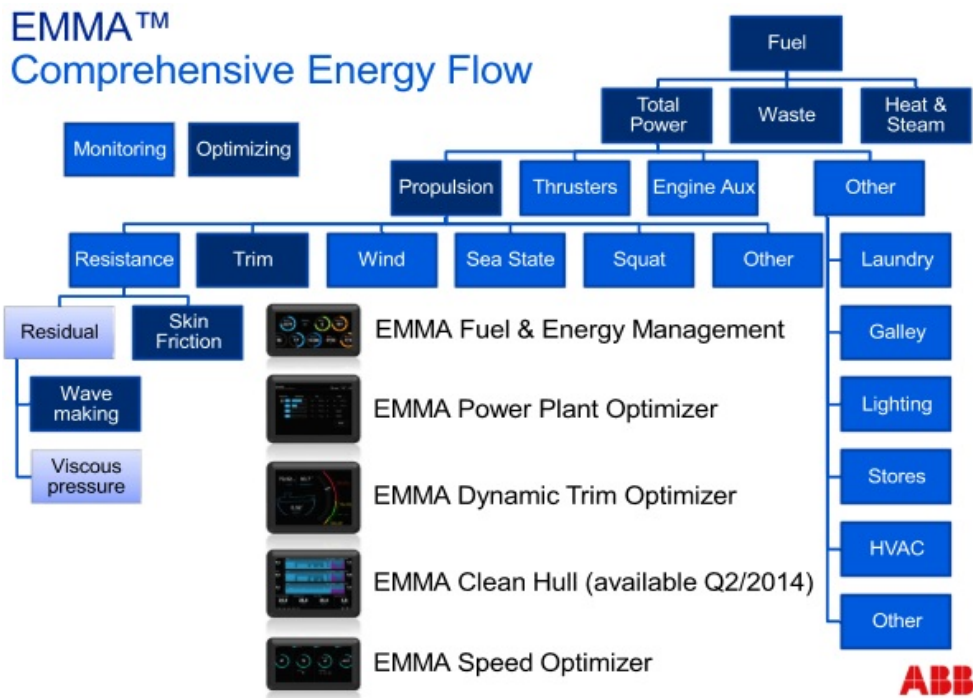
Laiva-automaation kehitys on ollut suurta 1960 luvulta lähtien ja tiedonsiirtomäärät ja nopeudet ovat kasvaneet kiloista gigabitteihin. Tietomäärien kasvaessa on tallennustarve alati kasvanut, tarvittavat käyttöliittymät parantuneet ja langatonta etähallintaakin on kehitetty. (Lehto 2014.) Kun automaatio auttaa hienosäätämään ajo parametreja ja alusten energiatasetta kokonaisuutena, on se muassaan tuonut myös automaattisten raportointijärjestelmien tarjonnan helpottamaan tiedon hankintaa ja analysointia. Järjestelmiä on lukuisia eri osa-alueille ja myös energiataseen seurantaan on kehitetty omat työkalunsa, jotka toiminnoiltaan seurailevat IMO:n SEEMP:ssä asettamia vaatimuksia. Kotimaista tarjontaa edustavat esim. Eniram Oy:n Eniram Platform (Eniram 2016) tai ABB:n Emma Advisory Suite (Ignatius. 2014). Koska työn tilaajan uusin laiva m/s Grace hyödyntää ABB Emma Advisory Suitea, katsotaan sen toimintoja hiukan läpi (Ignatius 2012).

2.4.1 EMMA™ Advisory Suite

Emma™ Advisory Suite on ABB:n kehittämä energianhallinta- ja seurantajärjestelmä ja toimii aktiivisena osana optimaalisten ajoparametrien etsimisessä ja kohdalleen säätämisessä. Ohjelmisto on modulaarinen, ts. asiakas voi halutessaan ottaa käyttöön vain perusosat järjestelmästä ja laajentaa toimintoja myöhemmin paremmin tarpeita kattaviksi. Keskeisimpiä perusosia ovat Fuel & Energy Management, Powerplant Optimizer ja Dynamic Trim Optimizer. Järjestelmä on lisäksi laajennettavissa vielä Clean Hull ja Speed Optimizer moduuleilla. (Ignatius 2014.)

Kuvassa kolme ovat keskellä kaikki Emma™ Advisory Suite-ohjelmistokomponentit. Laatikoissa ovat aihealuettain vaalean sinisellä kohteet joita voidaan monitoroida, sekä tumman sinisellä kohteet joiden toimintaa voidaan järjestelmässä optimida automaattisesti. (Ignatius 2014.)

Koska ABB toimitti m/s Gracen sähköpotkurikäyttöjärjestelmän generaattoreineen, pääsähkökojeistoineen sekä taajuusmuuttajineen sekä komponentteja ankkuri- ja kiinnitysvinssisovelluksiin taajuusmuuttajineen, tuli EMMA™ Advisory Suitesta aktiivinen osa kokonaisuuden hallintaa (ABB 2014 b.)



Kuva 3 Emma Suite moduulit (Ignatius 2014)

Ohjelmisto toimii tärkeänä työkaluna aluksen energiansäästöohjelmassa, se mm. kertoo koko aluksen energiankulutuksen. Saatua tietoa tallennetaan ja analysoidaan optimaalisimman energian käyttötavan löytämiseksi. Myös tuulen, merenkäynnin, trimmin ja syväyksen vaikutusta energiankulutukseen seurataan tarkasti. (ABB 2014 b.)



Kuva 4 m/s Grace:n EMMA Onboard Tracker näyttö konevalvomossa

Kuvassa 4 on konehuoneessa sijaitsevan EMMA Onboard Trackerin näyttö, jossa keskeisimpiä ajo parametreja voidaan seurata tosiaikaisesti.

ABB:n kokonaistoimitus mahdollisti EMMA™ Advisory Suiten integroinnin laivan järjestelmiin niin keskeisesti, että kaikkien järjestelmien tietoa voidaan tehokkaasti kerätä ja analysoida reaaliaikaisesti, mikä auttaa seuraamaan tehtyjen säätötoimien vaikutusten arviointia ja muutosta välittömästi. (Rosenqvist 2016.)



Kuva 5 m/s Grace:n EMMA Dynamic Trim Optimizer näyttö sillalla.

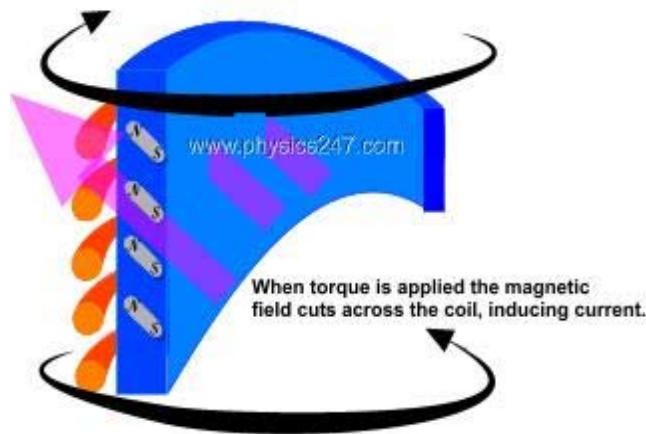
Järjestelmä on myös itseoppiva, jo kuukauden käytön jälkeen alkoi EMMA™ Advisory Suite antaa korjausehdotuksia mm. trimmin suhteen, jotka osoittautuivatkin taloudellisesti merkittäviksi (Anderson 2015). Kuva 5 kuvastaa hyvin selkeästi optimaalisen trimmin vihreänä alueena aluksen keulan puoleiselle asteikolle kuvattuna.

Järjestelmätoimitukseen kuuluu lukuisia antureita, joista keskeisimpien toimintaperiaatteita on syytä käydä hiukan läpi (ABB 2016a).

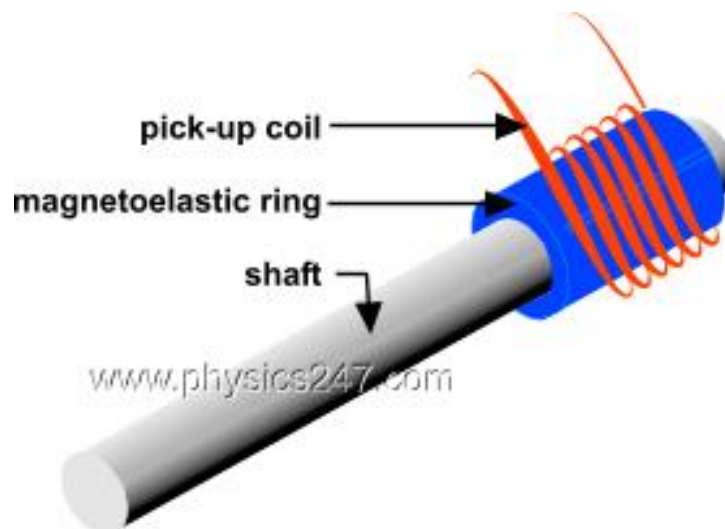
2.4.2 Sensorit

2.4.2.1 Torductor - vääntömomenttimittari

Vääntömomenttimittari aluksen potkuriakselissa kertoo suoraan potkuriin välitettävän propulsiotehon suuruuden. Mittaustapoja on erilaisia, m/s Gracessa on magneetoelastiset sensorit, jotka käyttävät hyväkseen Villary-ilmiota (ABB 2016b). Kuva 6 kuvaa, kuinka elastisen massan magneettiset ominaisuudet muuttuvat massaa venytettäessä, puristettaessa, kierrettäessä tai taivutettaessa. Magneettikentän suunnan- ja voimakkuuden muutos massassa kuvassa 7 indusoituu sensorin sisältämään kelaan sähköjännitteeksi ja on siten muunneltavissa numeeriseen muotoon. (Physics 24/7 2016.)



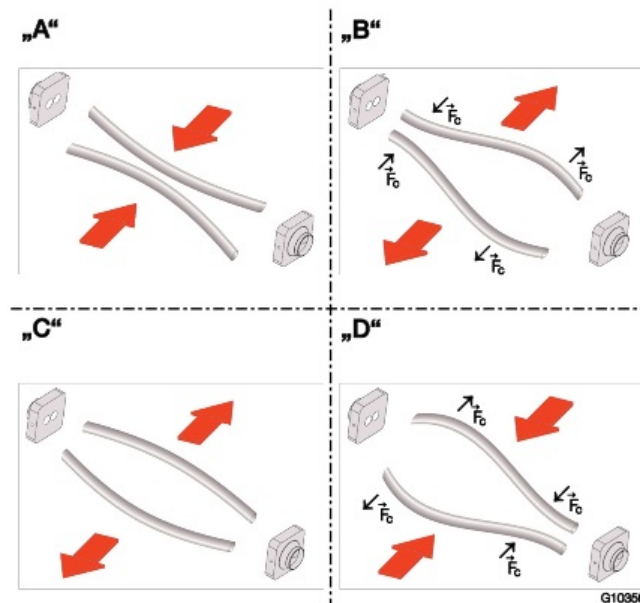
Kuva 7 Villary-ilmioon perustuvan anturin toiminta (Physics 24/7 2016).



Kuva 6 Akselilla sijaitseva anturi keloineen (Physics 24/7 2016).

2.4.2.2 CoriolisMaster eli massavirtamittari

CoriolisMaster massavirtamittari toimii Coriolis-ilmiöön perustuen. Mittarissa yksi tai kaksi U-mutkalle taivutettua putkea saatetaan harmoniseen värähtelytilaan U mutkan keskeltä. Kuvan 8 osa A ja C kuvaavat, kuinka putkien taipuma on symmetrinen A \leftrightarrow C, kun ainetta ei virtaa putkissa. Aineen virratessa putkien läpi, aiheuttaa aineen massa viiveen putkien värähtelyliikkeeseen U-mutkan alku- ja loppupään välille eli värähtely on epäsymmetristä osissa B \leftrightarrow D. Tämän epäsymmetrisyys mittaamalla saadaan selville vaihe-ero alku- ja loppupään värähtelyssä, amplitudimuutos sekä taajuuden muutos. Näin anturitiedoilla saadaan ratkaistua aineen massavirta, tilavuusvirta, tiheys, lämpötila sekä konsentraatio. (ABB 2014.)

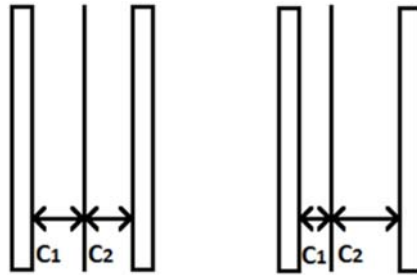


Kuva 8 Coriolis massavirtamittarin toimintaperiaate vaiheittain (ABB 2014).

Käytännössä on havaittu, että jo pelkän massavirtamittarin jälkiasennus auttaa parantamaan aluksen energiankulutuksen seuranta ja kehitystä suuresti, kun kulutusmuutokset polttoainevirrassa saadaan selville reaaliaikaisesti. Näin tehdyt säätötoimenpiteet antavat heti tarkkaa palautetta muutosten vaikutuksista. Mm. XPRS:lle asennettiin Emerson Micro Motion - massavirtausmittauslaitteistot, joiden avulla oli mahdollista saada kulutustietoa laivan pääkoneiden, apukoneiden sekä höyrykattiloiden kuluttamasta polttoaineen määrästä reaaliaikaisesti. (Vuorinen 2014.)

2.4.2.3 Attitude sensor eli asentosensori

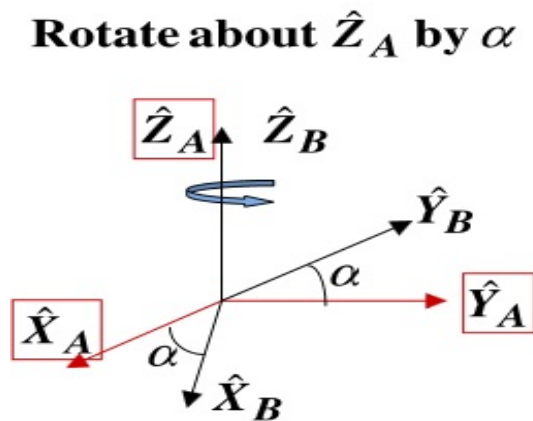
Asentosensoreita tarvitaan dynaamisen trimmin mittaamiseen ja aluksen koosta riippuen niitä tarvitaan kahdesta kolmeen kappaletta (ABB 2016a). Rakennetekniikoita antureille on useita erilaisia, kuten pietsosähköiset ja kapasitiiviset anturit (Pursiainen 2011).



Kuva 9 Kapasitiivisen MEMS tekniikalla tehdyn anturin periaate (Pursiainen 2011).

Tässä työssä käytetty moduuli on ns. MEMS tyyppinen, eli Micro-Electro-Mechanical Systems mikrovalmistustekniikka. MEMS tekniikalla on mahdollista valmistaa pienoiskoossa olevia sekä mekaanisia että sähkömekaanisia elementtejä, kuten moottoreita, aktuaattoreita ja kiihtyvyyssantureita. (MNX 2016.)

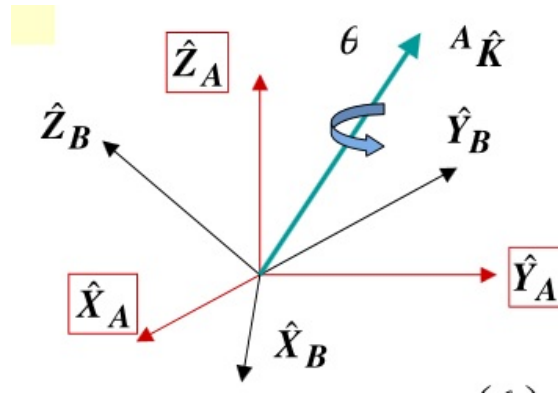
Kuvassa 9 esimerkiksi ovat kapasitiiviset levyt, joiden välinen kapasitanssi muuttuu kahden levyn välissä joustavasti kiinnitetyn levyn asennon muuttuessa maan vetovoiman tai muun kiihtyvyysoiman vaikutuksesta (Pursiainen 2011).



Kuva 10 Eukleesin Z-akselin kiertokulma kuvattuna X ja Y-akselin kulmamuutoksina. (de Weck 2001).

Eukleen kulmat kuvaavat kiertoa yhden akselin suhteen kahden muun akselin kiertokulmia tarkastelemalla, kuten kuvassa 10, jossa Z akselin kierto kuvataan X ja Y akselien alpha kulmamuuksilla (de Weck 2001).

Kaikista kolmesta akselistä saaduista suuntavektoreista saadaan neljäs summavektori ja kiertoa kuvaava skalaarifunktio yhteisnimeiltään kvaternion, kuten kuvassa 11 oleva sininen summavektori kiertymineen näyttää (de Weck 2001).



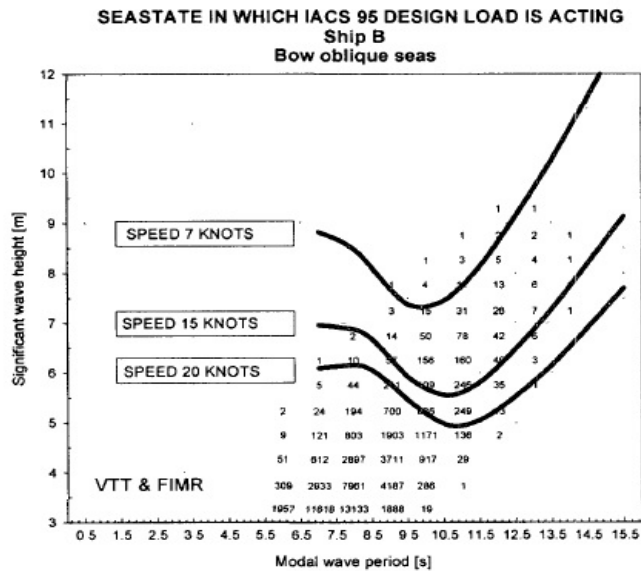
Kuva 11 Kvaternion kuvaa yhdellä suuntavektorilla ja kulmanopeutiedolla kaikkien kolmen eukleen vektorin tilaa (de Weck 2001).

Kvaternion on siis kierron kuvaus, kun tunnetaan kiertokulma ja kiertoakselin määräävä yksikkö vektori (Polvinen 2012).

Asentomuutosten automaattinen laskeminen tietokoneilla nopeutuu ja helpottuu suuresti kvaternionien avulla (de Weck 2001).

2.4.3 Sea State

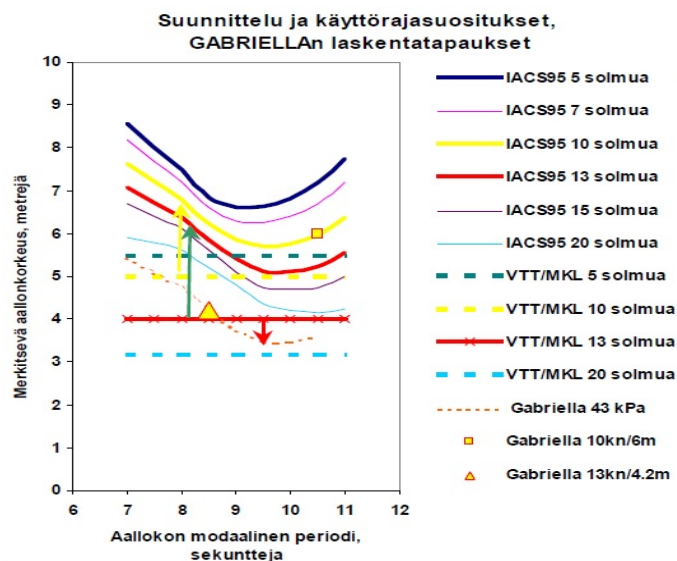
Asentomuutoksia ja kiihtyvyyksiä tarvitaan ajonopeuden optimointiin ja auttamaan operoimaan alusta sen suunniteltujen toimintaparametrien puitteissa. Uusille laivoille on SEEMPIin lisätty muuttuja Sea State, jota voidaan tarkastella ei vain aallokon korkeutena, vaan myös ns. modaalisena, ts. hallitsevana taajuutena eli kuinka usein aallon huiput seuraavat toisiaan. Tällä tiedolla on suuri merkitys keularakenteiden kestävyysvaatimuksiin. Kuva 12 osoittaa aallon korkeuden,aaltojen huippujen tiheyden ja aluksen nopeuden funktiona sallitut operointirajat keskikokoisille aluksille Itämeren liikenteessä, jotka rakenteiden kestävyys eri olosuhteissa sallii. Arvot ovat laivakohtaisia koska aluksen pituudella on hyvin suuri vaikutus. (Soininen, Karppinen, Kahma, Kukkanen, Rintala 2001.)



Kuva 12 IACS 95 mukaiset sallitut maksimirasitukset keskikokoiselle alukselle (Soininen, Karppinen, Kahma, Kukkanen, Rintala 2001)

Taulukko on laadittu Itämeren olosuhteisiin, jossa aallokon hallitseva (modaalinen) periodi on tyypillisesti 4 - 6 sekunnin luokkaa, mutta voi olla jopa 12 - 13 sekuntia. Syvässä vedessä vastaavilla periodiarvoilla on aallonpituudet huipusta huippuun noin 25 - 60 metriä, pisimpien periodien vastaten 225 - 260 metrin aallonpituuksia. (Ilmatieteen laitos 2016.)

Jos sitten tarkastellaan m/s Gabriellalle keulaportin vaurion yhteydessä lasketua taulukkoa kuvassa 13, voidaan havaita 9 - 11 sekunnin periodin olevan suurimman ajonopeuteen vaikuttavan tekijän merkitsevän aallonkorkeuden suhteen (Onnettomuustutkimuskeskus 1998).



Kuva 13 VTT:n laskemat maksimikuormitusrajat m/s Gabriella:lle aallon korkeuden ja periodin suhteen (Onnettomuustutkimuskeskus 1998).

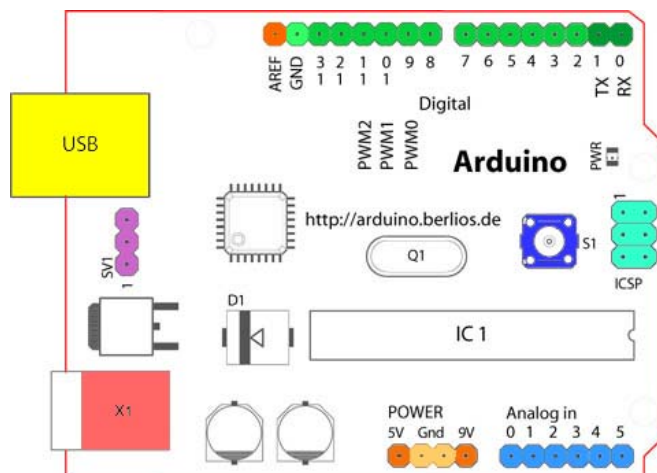
Aluksen Lpp:n ollessa 153 metriä, voitaneen arvella ”hankalan” aallon pituuden olevan n. 90 – 120 metriä kyseisellä periodilla. Aallokon periodinen vaihtelu vaikuttaa siten suuresti aluksen keulaan kohdistuvaan rasitukseen aallon korkeuden ja ajonopeuden lisäksi ja on näin ollen yksi tärkeä muuttuja seurattavaksi.

Tutkintaselostuksen mukaan aluksella liikennöintiin vaurion tapahtuma-aikaan olosuhteiden vaatimalla huolellisuudella. Keulaportin vaurio johtui portin piirustusten vastaisesta rakenteesta, joka sittemmin korjattiin. Sisaraluksissa ei vastaavaa virhettä keulaportin rakenteessa ole havaittu. (Onnettomuustutkimuskeskus 1998).

3 AUTOMAATTINEN SÄÄOLOSUHTEIDEN TALLENNUS.

3.1 Arduino

Arduino on sekä avoimeen laitteistoon että avoimeen lähdekoodiin perustuva mikrokontrolleri, jossa ytimenä on 8-bittistä arkkitehtuuria käyttävä Atmel AVR -mikro-ohjain. Laitteistoa ohjelmoidaan C++:aan perustuvalla korkean tason ohjelmointikielellä. Arduino on lähtöisin Ivrea Interaction Design Instituutista Italiasta, jossa sitä käytettiin opetustarkoituksissa erilaisissa prototyypiprojekteissa. Opiskelijoille, jotka eivät entuudestaan tunteneet kyseistä alaa, opetetaan näin ohjelmointia ja elektroniikkaa. Laitteen suosio kasvoi nopeasti ja avoimuudestaan johtuen on sekä rauta- että softapuolella runsaasti valikoimaa omien projektien kehittelyn pohjaksi. Laittealustan suosio perustuukin sen edullisuuteen, yhteensopivuuteen kehitys-ympäristönsä suhteen (Windows, Linux, Macintosh OSX) ja helppoon käyttöönottoon perustuen Arduinon C++:aan perustuvan korkeantason kielen käyttöön ja monipuolisiin ohjelmakirjastoihin. Taitojen karttuessa, on mahdollista liittää rautatason AVR-C-ohjelmakoodia osittain tai kokonaan tai ohjelmoida vaikka omia kirjastoja laitealustalle. Laittealustan kytkentä on julkaistu Creative Commons lisenssillä ja kuka tahansa voi rakentaa oman laitealustan niin halutessaan. (Arduino a.)



Kuva 14 Arduino Uno havainnekuva porteista ja liittimistä (Arduino 2016b).

Kuvassa 14 on Arduino Uno kortti, jossa digitaaliset portit ovat merkityt vihreällä värillä, analogiset portit sinisellä värillä, virtasyötöt 5V ja 3,3V oranssilla, USB liitin keltaisella ja ulkoinen virtaliitin X1 punaisella värillä (Arduino 2016b).

Teknisiä tietoja:

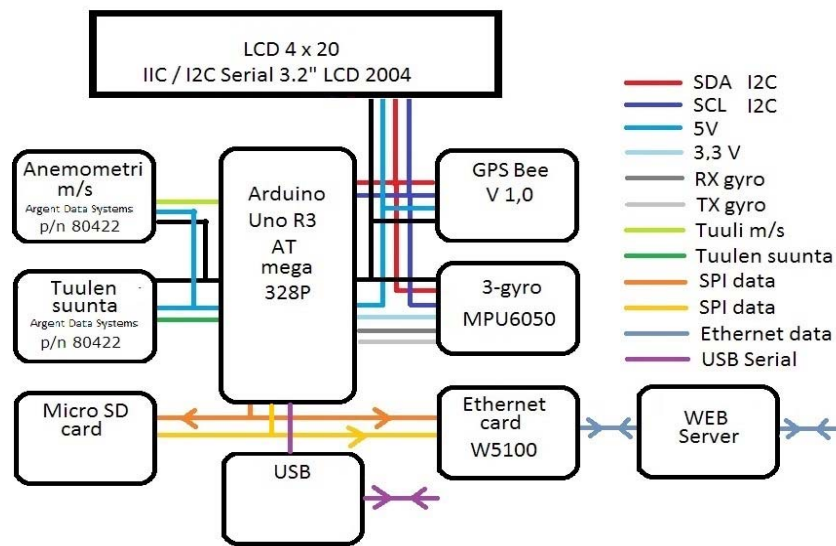
Proessori	AT Mega 328P
Digitaalisia portteja	14
Analogisia portteja	6
Flash muisti	32kB
Kello	16Mhz

(Arduino 2016b)

3.2 Komponenttien valinta

3.2.1 Suunniteltu laitekoonpano.

Kuvassa 15 on keskellä prosessorimoduuli ja ympärillä eri laitemoduulit ja niiden väliset virta- ja signaalijohtimet. Anemometri ja tuulensuuntaa mittaava anturi on kytketty n. 25 metriä pitkällä STP-parikaapelilla aluksen mastosta mittalaitteeseen radiohuoneessa. Muut komponentit ovat laitteen kotelon sisällä GPS-antennia lukuun ottamatta. Laitteen virtalähteenä toimivaa USB-laturia ei ole kuvattu tähän mukaan. Laite ei ole kiinni aluksen dataverkossa, vaan on täysin itsenäinen.



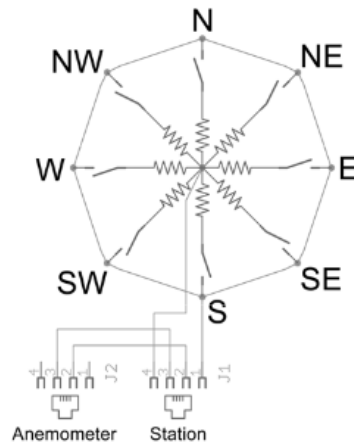
Kuva 15 Suunniteltu laitekokoontalo toiminnallisina lohkoina

3.2.2 Laitealusta Arduino Uno R3

Laitealustaksi valikoitui Arduino Uno R3 edullisuutensa, hyvän saatavuuden, runsaiden esimerkkiohjelmien ja laajan oheislaite- ja kirjastofunktioiden tuen vuoksi. Alustassa on valmiiksi 6 analogista ja 14 digitaalista kytkentäporttia, jotka ovat ohjelmallisesti valittavissa joko luku- tai kirjoitus (Input / Output) portteiksi. Laitteen muisti 32kB osoittautui myöhemmin liian pieneksi eräiden suunniteltujen toimintojen suorittamiseksi. Primääritavoitteisiin muisti silti riitti. Alusta sisältää lisäksi HiD-yhteensopivan USB-portin virransyöttöä varten. Sama liitäntä toimii myös laitteen ohjelmointiporttina ja sitä voidaan käyttää myös IO-kanavana ulkopuolisiin laitteisiin mittaustietoa syöttämään. Ohjelmointivaiheessa on debuggaus, eli muuttujien arvojen seuranta ja näin mahdollisten virheiden etsintä USB-portin välityksellä sarjaliikennemonitorin kautta enemmän kuin hyödyllinen apuneuvo. (Arduino 2016 c.)

3.2.3 Tuulen suunta- ja nopeusanturit

Tuulen suunta- ja nopeusanturit oli tarkoituksenmukaisinta valita olemassa olevasta sääasemasta, joista langallisten anturien vaatimuksen täytti osto hetkellä vain yksi malli, eli Weather Station WH1080. Anturit ovat toteutetut ns. reed-kytkimillä, joita anturin akseliin liitetty magneetti ohjaa auki/kiinni asentoihin. Tuulensuunta-anturissa kytkimiä on kahdeksan, yksi kullekin pää- ja väli-ilmansuunnalle.

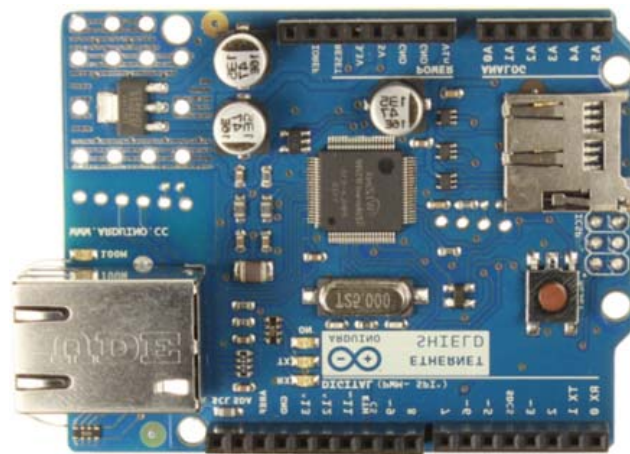


Kuva 15 Tuulensuunta-kytkimien kytkentäkaavio (Oberberger 2013).

Toiset kahdeksan ilmansuuntaa on näiden lisäksi lähinnä vain teoriassa mahdollisuus lukea, kun kaksi reed-kytkintä on magneetin kiinni vetäminä yhtä aikaa. Käytännössä tätä "välitilaa" oli vaihtelevissa määrin vaikea saavuttaa, mutta nämä välililansuuntien välisuunnat ovat kuitenkin mukana mittaus- ja laskenta-aineistossa. Reed-kytkimien toinen napa on liitetty Arduinon analogiseen lukuporttiin jännitetason mittausta varten, kun taas reed-kytkimen toinen napa on kytketty jännitetason määräävän vastuksen kautta nollapotentialiin. Lukuporttiin on kytketty 10k Ω ns. ylösvetovastus 5 voltin käyttöjännitteestä syöttämään tarvittava lähtöjännite mittausta varten. Samoin on anemometrillä reed-kytkin kytketty ylösvetovastuksen kanssa Arduinon digitaaliseen porttiin pulssien lukua varten. Ylösvetovastukset sijoitin mahdollisimman lähelle antureita kytkentälaatikkoon ylös mastoon n. 30 cm päähän antureista. Näin pyrin kompensoimaan pitkän n. 25 m. mastosta laitteelle johtavan signaalikaapelin mahdollisesti aiheuttamaa jännitehäviötä.

3.2.4 Arduino ethernet-shield

Laitelisäkortteja kutsutaan shieldeiksi, suora suomennos olisi suoja tai suoja-kilpi, joka ei varsinaisesti kuvaa korttien käyttötarkoitusta. Näitä lisäkortteja on lukuisia eri tarkoituksiin ja yhteistä niille on, että ne ovat liitettävissä liitinrimojensa välityksellä suoraan Arduino Uno yhteensopiviin kortteihin toisiinsa kiinni painamalla. Näin esim. kuvan 17 ethernet-lisäkortilla laajenee Arduino Uno yhdellä 10/100MB ethernet portilla, mikro-SD muistikorttipaikalla tulosten tallennukseen ja noutoon sekä mahdollisuudella web-serverin ajamiseen. (Arduino 2016d.)



Kuva 16 Arduino Ethernet shield on kytkettävissä yhteen Arduino Uno- tai Mega-kortin kantaan. Oikeassa laidassa SD-korttipaikka. (Arduino 2016 d)

Kuvassa 18 alimpana on Arduino Uno, sitten ethernet-kortti ja päällimmäisenä oma kytkentäkortti, jossa GPS-anturi, kiihtyvyyssanturi, ylös- ja alasvetovastukset reed-kytkimille, valodiodeille ja menu-kytkimelle, sekä komponenttien väliset virransyötöt ja signaalijohtimet.



Kuva 17 Kortit pinottuina päällekkäin koteloon.

3.2.5 Kiihtyvyyssanturi

Kuvassa 19 on GY-521 gyro / kiihtyvyyssanturimoduuli. Se käyttää Invensensin piiriä MPU-6050 ja I2C sarjaliikennekanavia (SDA = Serial Data, SCL = Serial Clock) tietoliikenteeseen. Lisäksi kytketään nollapotentiaali (maa) GND (Ground) liittimeen ja käyttöjännite Vcc liittimeen. Int liitin on keskeytyskanava (Interrupt) ja kytketään Arduino Unon digitaaliseen linjaliittimeen 2 tai 4. ADO on osoiteliitin, jolla valitaan laitteelle yksi kolmesta osoitteesta: osoite #1 = maa, osoite #2 = kytkemättä, osoite #3 = käyttöjännite. XDA ja XCL nastat ovat moduulissa varattu ulkoisille lisäantureille kuten esim. magnetometri. (DX 2016a.)



Kuva 18 GY-521 Gyro anturissa ovat signaalit ja virtasyötöt selkeästi merkityt (DX 2016a).

3.2.6 GPS - anturi

GPS-anturiksi valikoitui ElectroFreaksin 50-kanavainen GPS-Bee Data Module Shield, koska sen erillinen antenni on sijoitettavissa kotelon ulkopuolelle ja mahdollisesti kaapelia jatkamalla myös kauemmaksikin itse näyttölaitteesta. Moduuli käyttää I2C sarjaliikennekanavaa kontrolliliikenteeseen, NMEA-lähetys- ja vastaanotto kanavat Tx/Rx ovat valittava Arduinosta erikseen. (DX 2016b.)



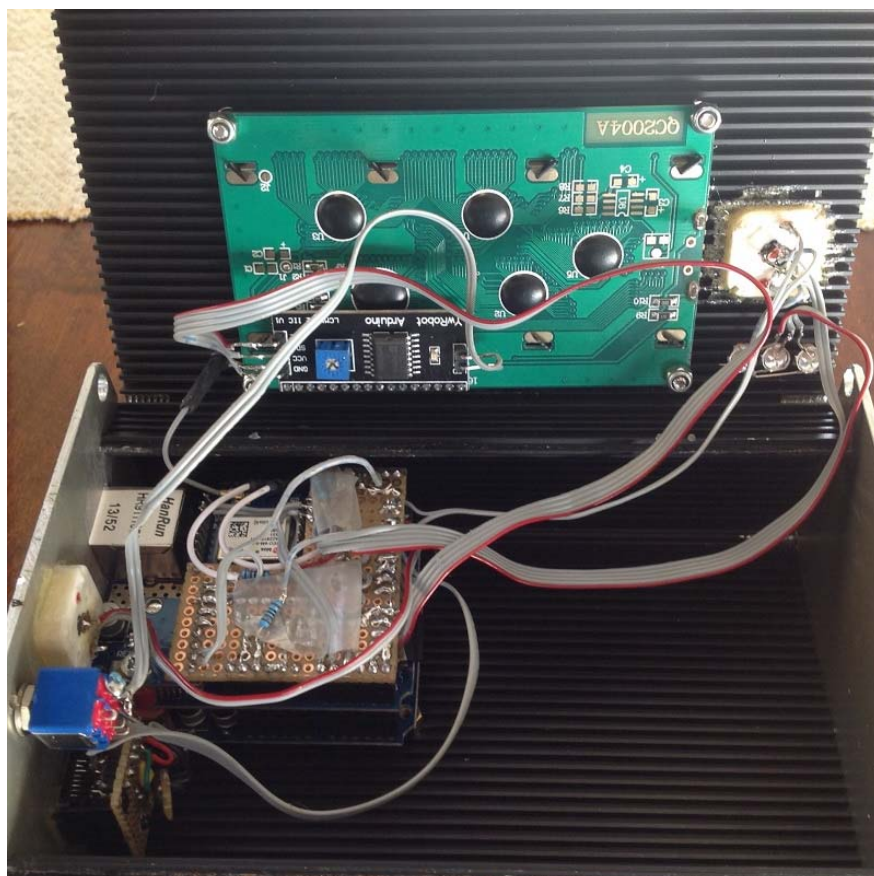
Kuva 19 ElektroFreaks'in GPS-anturi ja keraaminen antenni (DX 2016b).

3.2.7 LCD - näyttö

Kuvan 21 3,2 " LCD-näyttö on taustavalaistu, I2C sarjaliikennettä käyttävä moduuli, jossa on 20 merkkiä x 4 riviä = 80 merkkiä. Moduuli käyttää I2C sarjaliikennekanavaa tietoliikenteeseen. (DX 2016c.)



Kuva 20 4x20 merkin I2C LCD näyttö tarvitsee vain neljä johdinta (DX 2016c).



Kuva 22 Valmis laite sisältä johdotuksineen.

Kuten laitteen kuvasta 22 voi havaita, on sisällä vielä päivitysvara isommalle Arduino Mega 2560 kortille, joka vaihdetaan tulevaisuudessa. Kuvassa 23 on

laite käyttökuntoisena testiajossa. Keltainen LED-valo osoittaa että GPS yhteys on päällä, oikeassa alakulmassa näkyy satelliittien lukumäärä 6.



Kuva 23 Laite testiajossa

Kuvan 23 numerot viittaavat seuraaviin osiin ja toimintoihin:

- 1: sininen led-valo, vilkahtaa kun GPS-anturia luetaan.
 - 2: punainen led-valo, vilkahtaa kun dataa kirjoitetaan tai luetaan tietueesta.
 - 3: keltainen led-valo, vilkkuu, jos satelliitteja ei ole saatavilla. Palaa yhtäjaksoisesti, kun luettavia satelliitteja on vähintään 3.
 - 4: Menu kytkin, vaihtaa kytkintä painettaessa kuvan 23 "ykkös" menun "kakos" menuksi, joka tulostaa näytölle edellisen päättyneen matkan TrueW arvot. Näyttö palaa 10 sekunnin jälkeen automaattisesti "ykkös" menuun.
 - 5 ja 6 LCD: päiväys ja kellonaika UTC
 - 7 LCD: AppW, apparend wind, suhteellinen tuuli
 - 8 LCD: TrueW, tosituuli, josta laivan liike laskettu pois
 - 9 LCD: Logging / No logging, osoittaa, onko arvojen luku ja tallennus käynnissä.
 - 10: Luettavissa olevien satelliittien määrä.
- Liitteessä 1 on laitteen ruotsinkielinen käyttöopaste.

3.3 Moduulien käyttämät protokollat

3.3.1 USB - sarjaliikenneprotokolla

USB-portti on HiD-yhteensopiva, eli näkyy tietokoneelle Human Interface laitteena mahdollistaen vaikkapa hiiren/peliohjaimen rakentamisen Arduino laitealustalla. IDE-ohjelmointiympäristö käyttää USB-porttia Arduino alustan kanssa kommunikoimiseen ohjelmaa laitteeseen ladattaessa, sekä Serial Monitor sarjaliikenneohjelmaa interaktiiviseen kommunikointiin Arduino laitteen kanssa. Laitteessa ei itsessään näin tarvitse olla näyttöä tai toimintaa ohjaavia kytkimiä, laite voi kirjoittaa anturi- yms. tietoa laitteeseen kytkettyyn tietokoneeseen IDE Serial Monitor ohjelman kautta. Näppäimistötietoa voidaan syöttää Arduino laitteeseen samasta Serial Monitor käyttöliittymästä. Samoin on laitteen USB sarjaporttiin syöttämä tieto mahdollista ottaa vastaan millä tahansa sarjaporttiliikennettä lukevalla menetelmällä. Jos lähetettävä tieto on esim. CSV-protokollan mukainen (Comma Separated Value), osaavat useat taulukkolaskentaohjelmat lukea ja jatko käsitellä sitä. (Arduino 2016a.)

3.3.2 I2C - protokolla

I2C tai IIC toisella tavalla ilmaistuna on alun perin Philips Semiconductorsin kehittämä sarjaliikenneprotokolla, jossa laitteet ovat yhdistetty vain kahdella johtimella; SDA eli datalinja ja SCL eli kellolinja. Lisäksi laitteille tulee yhteinen maa ja kullekin käyttöjännitteensä mutta johtimia ei laitteiden välillä tarvita kuin kaksi. Tämä yksinkertaistaa kytkentäkorttien ja johdotusten suunnittelua ja Arduinon tapauksessa säästää luku/kirjoitusportteja vaikka ohjattavia laitteita olisikin useita. Arduinossa SDA linja on analogisessa liittimessä A5, sekä SCL linja liittimessä A4. Molemmat linjat ovat ns. open-drain tyyppisiä, eli Arduino pystyy asettamaan linjan loogiseen 0 tilaan, mutta looginen 1 vaatii ylösveto-vastuksen käyttöjännitteestä. Riittää, että kytkentä tehdään kerran esim. isäntä laitteessa. (I2C Bus 2016a.)

Isäntälaitteita (Master) saa olla yksi ja siihen kytkettynä orjalaitteita (Slave) 7-bittisellä perusosoitteella maksimissaan 128 kpl. (Robot Electronics 2016)

Huomattava on, että saman tyyppisten laitteiden osoiteavaruus perusosoitteensa lisäksi on vain 2-bittinen, eli näin samaa laitetyyppiä voi olla vain kolme kytkettynä saman isäntälaitteen kanssa. Perusosoitteen vaihto tapahtuu esim. AD0-liittimellä kytkemällä se joko maahan 0-potentiaaliin (Gnd), käyttöjännit-

teeseen (Vcc) tai jättämällä se ”kellumaan”, eli kytkemättä sitä mihinkään. Näin sen jännitetaso jää jonnekin loogisen 0:n ja loogisen 1:sen välille. Protokolla on kehitetty vuosien saatossa, nopeutta kasvatettu 100 kilobitistä 3,4 megabittiin sekunnissa. 10-bittinen osoiteavaruus laajentaa orjalaitteiden määrän 1008:aan. Myös mahdollisuus kytkeä useampia isäntälaitteita samaan linjaan on tehty, kunhan ne kaikki ovat ns. MultiMaster isäntälaitteita. (I2C Bus 2016b.)

3.3.3 SPI - protokolla

SPI (Serial Peripheral Interface Bus) käyttää tiedonsiirrossa neljää eri signaali-johdinta. Yksi on kellopulssi SCK (Serial Clock), joka tahdittaa kaikkien laitteiden tiedonsiirtoa ja ajoitusta. Toinen on MOSI (Master Output Slave Input), jolla isäntälaitte lähettää dataa vastaanottavalle orjalaitteelle. Kolmas signaali-johdin on käänteinen edellisestä eli MISO (Master Input Slave Output), jolla isäntälaitte vastaanottaa orjalaitteen lähettämää dataa. Neljäs on SS (Slave Select) tai CS (Chip select), jolla isäntälaitte valitsee kulloisenkin orjalaitteen keskustelukumppanikseen. Tiedonsiirto I2C väylästä poiketen on siis Full Duplex tyyppistä, jossa laitteet voivat sekä lukea että kirjoittaa toisilleen yhtä aikaa. (Arduino 2016e.)

Arduinon ethernet-shield kortilla ethernet piiri ja mikro SD piiri käyttävät SPI protokollaa tiedonsiirtoon. Ethernet käyttää SS-signaalilinjana Arduino Unossa digitaalista liitintä 4 ja SD piiri digitaalista liitintä 10. (Arduino 2016e.)

3.3.4 Laitteen ohjelmointi

3.3.4.1 IDE - ohjelma

Ohjelmointiympäristönä on Arduinon sivuilta ladattava ohjelmisto IDE, joka on saatavilla Windows, Mac ja Linux versioina. Käytännön kannalta ei keskinäisiä eroja ole. Sama ohjelma käy kaikkien Arduino-prosessorikorttien ohjelmoimiseen. Käytössä ovat peruskirjastot, lisälaittekohtaisia kirjastoja erimerkkikoodineen voi ladata käyttöön yksinkertaisella kirjastotyökälulla IDE-ohjelmassa tai asentamalla kirjastotiedostot manuaalisesti oikeaan paikkaan ohjelmistopuussa. Kirjasto on käytävissä IDE-ohjelman uudelleenkäynnistyksen jälkeen. (Arduino 2016f.)

3.4 Komponenttien konseptitestaus

3.4.1 LCD - näyttö

LCD näyttö keskeisimpänä komponenttina laitteen toiminnan seuraamiseen ja tulosten tarkasteluun oli ensimmäinen kytketty ja testattu komponentti.

I2C LCD näytön käyttämiseksi tarvitaan **Wire.h** kirjasto I2C linjan käyttöön ja **LiquidCrystal_I2C.h** kirjasto I2C LCD moduulin käyttöön. Ohjelman alussa alustetaan LCD osoitteeseen 27 hex.

```
LiquidCrystal_I2C lcd(0x27, 2, 1, 0, 4, 5, 6, 7, 3, POSITIVE);
```

Setup() osassa käynnistetään LCD: **lcd.begin(20,4)**; 20 merkkiä, 4riviä ja näin on näyttö käyttövalmis.

lcd.setCursor(3,0); siirtää kursorin ensimmäiselle riville (0), neljännen kirjaimen kohdalle rivin alusta.

lcd.print("Moro"); kirjoittaa tekstin Moro näyttöön.

lcd.clear(); pyyhkii koko näytön puhtaaksi.

3.4.2 Gyro / kiihtyvyyssanturi

Pintaliitoskomponentein valmistetun GY-521 moduulin koko on n.20 x 30 mm. Käyttöjännite on valittavissa 3.3 ja 5 voltin välillä, lisäksi moduuli sisältää jänniteregulaattorin. Anturin virrankulutus on gyroskooppi käytössä tyypillisesti n. 3,6 mA, valmiustilassa 5 uA. Kiihtyvyyssanturin mittausalueet ovat: ± 2 , ± 4 , ± 8 , ± 16 g. Oletusarvona ± 2 g. Gyroskoopin kulmanopeuksien lukualueet ovat ± 250 , ± 500 , ± 1000 ja ± 2000 °/s, joista ± 250 °/s oletusarvoasetus. Piirin gyroskooppiosa antaa tietoa x-y-z akseleiden suhteen piirin asennosta, jolloin on mahdollista laskea mm. kaltevuuskulmat akseleiden suhteen sekä kulmanopeudet eli kuinka nopeasti piiri kiertyy jokin akselinsa suhteen. Koska dataa saadaan koko ajan sekä gyroskoopista ja kiihtyvyyssantureilta 3-akselin suhteen, kykenee piiri tuottamaan liike- ja kiihtyvyyssuhteita 3 x 3-matriisiin. Piiri liikeprosessori (DMP = Digital Motion Processor) laskee arvot 1024 tavun puskuriin (FIFO = First In First Out) ja ne saadaan ulos mm. Euklees-kulmina ja kvaternioina. (Invensense 2014.)

Koska arvot vaihtelevat pienistäkin asennonmuutoksista johtuen, tulee laite asentaa loppusijoituspaikkaansa tukevasti ja ennen tuotantokäyttöönottoa kalibroida erillisellä ohjelmalla, joka etsii sopivat offset-arvot kyseiselle piirille ja asennuspaikalle. Offset arvoja käytetään omassa koodissa laitteen alustuksen yhteydessä. Esimerkiksi

```
mpu.setXGyroOffset(-3);
```

```
mpu.setYGyroOffset(-5);
```

```
mpu.setZGyroOffset(5532);
```

```
mpu.setZAccelOffset(1640);
```

```
mpu.setXAccelOffset(-2047);
```

```
mpu.setYAccelOffset(-152);
```

Anturin offset asetusten etsiminen ja perusdatan saaminen anturista kävi esimerkkiohjelmalla helposti (Rodenas 2015).

Jo konseptitestausvaiheessa ilmeni, ettei Arduino Uno R3:n muisti riitä anturin ajamiseen lopullisessa laitteessa.

3.4.3 GPS - moduuli

GPS moduuli käyttää TinyGPS++.h kirjastoa (Hart 2015) ja lähti helposti käyntiin Codebenderissä julkaistulla esimerkkiohjelmalla (Codebender 2015).

Koska työssä tarvittiin vain päivämäärä, aika ja kulkunopeus, karsittiin ”ylimääräinen” esimerkkikoodista pois ja otettiin omaan koodiin sellaisenaan.

3.4.4 Ethernet / mikro SD / Web-serveri

Verkkokortin käyttöönottoon löytyy Arduino forumista valmiit esimerkit, samoin kuin SD-kortin alustamiseen ja käyttöön. Web-server koodimalleja löytyy myös useita, joista osa käyttää SD korttia lähteenään. Esimerkkien avulla kävi konseptitestaus nopeasti ja helposti. (Starting electronics 2014.)

Tämäkin osuus lopputuotteesta jouduttiin karsimaan muistin riittämättömyyden vuoksi.

3.5 Lopullinen ohjelman toiminta lyhyesti

Ohjelmakoodi on kokonaisuudessaan liitteessä 3 ja seuraavassa viitataan sen rivinumeroihin.

Prosessien ajoaikavaatimukset vaihtelevat niiden luonteen mukaan jonkin verran. Tuulen suunnan ja GPS:n antaman nopeuden lukemiseen arveltiin riittävän n. 1 – 2 minuuttia, tuulen nopeuden määrittämiseen 1 – 2 sekuntia ja kiihtyvyyssanturia tulisi lukea niin paljon kuin vain ehtii. Yksittäiset arvovaihteluiden tasoittamiseksi käytetään koodissa keskiarvojakaumaa kaikkien arvojen määrittelyissä. Koska prosessori ei kykene moniajioon, täytyy eri antureiden lukuarvoja lukea kutakin vuorotellen talteen kunnes haluttu määrä näytteitä on saatu ja tämä summa sitten jaetaan näytteiden määrällä ja otetaan jatkokäsittelyyn. Antureita luetaan jatkuvana prosessina mutta niiden jatkokäsittely ja talteenotto tapahtuu vain laivan ollessa liikkeessä. Tämä arvojen jatkokäsittely ja talteenotto, eli loggaaminen, alkaa kun laivan keskinopeus ylittää 10 lukukierroksen aikana 2,9 solmua. Tieto saadaan GPS-moduulista keskiarvojakaumana. Yksi lukukierros on n. 1030 ms – 1050 ms. Joka sadannen kierroksen jälkeen lasketaan keskiarvot tuulen suunnalle sekä nopeudelle. Näistä lasketaan ns. True-arvot, joissa laivan liikkeen aiheuttama muutos tuulitietoon on kompensoitu pois. Saadut arvot talletetaan koko matkan kulkua taltioivaan tietueeseen matkan loputtua tapahtuvaa loppuyhteenvetoa varten. Tämä joka sadas kierros kestää 1250 ms.

Empiiristen kokemusten seurauksena lisättiin logituksen alkuun vielä viivettä n. 5 minuuttia, jotta Helsingistä lähtiessä laivan kulkusuunnan vaihtaminen satamassa saadaan tehtyä ennen varsinaisen matkaksi laskettavan ajan alkamista. Samoin todettiin matkan päättymisen vaativan viivettä Maarianhaminassa tapahtuvaan ympäri kääntymiseen satamaan saavuttaessa, joten toinen 5 minuuttia lisättiin myös matka-ajan loppuun. Näin saatu yhteensä 10 min. viive jakaantuu kahteen osaan ja aktualisoituu kokonaisuudessaan vain Maarianhaminassa pysähdyttäessä.

3.5.1 Tuulen suunta

Tuulen suuntatieto luetaan 16 alkia käsittävään tietueeseen **w_DirArray{17}** funktiossa **void windDir()** riveillä 304 – 466. Tuulen suuntien indeksointi menee 0 - 15 alkaen pohjoisesta N (aluksen keula) ja kiertyen myötä päivään.

Tietueen 17:sta alkio indeksillä {16} on lukukertojen laskuri. Logituksen ollessa käynnissä, kasvatetaan tämän laskurin arvoa 100:aan samalla kun **w_DirArray{}** tietueen jotakin tuuli-indeksin osoittamaa 0 – 15 arvoa kasvatetaan sitäkin yhdellä. Jokaisella lukukierroksella luetaan myös tuulen nopeus m/s ja sijoitetaan se **w_SpdArray{}** tietueeseen tuuli-indeksin osoittamaan alkioon ja summataan olemassa olleen alkion arvon kanssa yhteen. Kun lukukertojen laskuri saavuttaa arvon 100 rivillä 427, etsitään **w_DirArray{}** tietueesta suurin tuulen suuntaindeksi muuttujaan **w_max** rivillä 429 ja **w_SpdArray{}** tietueesta luetaan edellä havaitun suurimman suuntaindeksin mukaan tuulen yhteenlaskettu nopeus ja jaetaan se suuntaindeksin osoittamalla lukukertojen määrällä rivillä 431. Näin on saatu 100 lukukerran keskiarvojakaumat tuulen suunnalle indeksilukuna 0 – 15 ja tuulen nopeudelle m/s kyseessä olevalle tuulen suunnalla.

Tässä vaiheessa kyseessä olevat arvot ovat ns. Apparent Wind, eli havaitut arvot suhteessa laivan runkoon ja sisältävät siten myös laivan kulkusuunnasta ja nopeudesta johtuvat komponentit. Jotta halutut True Wind arvot saataisiin selville, täytyy laivan kulun aiheuttama osuus laskea arvoista pois.

3.5.2 Tuulen nopeuden mittaus

Tuulen nopeuden mittaukseen löytyi valmis pulssilaskuri jonka arvo lukuai-
kaan suhteutettuna antaa tuulen nopeuden m/s, rivit 56 – 69. Koska laskenta
tapahtuu kokonaan prosessorin rekistereissä, ei aikaa laskemiseen kulu pää-
ohjelmassa loop() sinällään lainkaan vaan tapahtuu funktion **delay(1000)**;
määräämän yhden sekunnin viiveen ajan. Tätä aikaikkunaa, jonka muu koodi
”odottaa” laskentaa tapahtuvaksi, käytetään laitteen muiden prosessien ajami-
seen.

```

/*
 * HardwareCounting sketch
 *
 * uses pin 5 on 168/328, pin 47 on Mega
 */
unsigned int count;
unsigned int getCount()
{
  TCCR1B= 0 ; // Gate Off / Counter Tn stopped
  count = TCNT1;
  TCNT1 = 0;
  bitSet(TCCR1B ,CS12); // Counter Clock source is external pin
  bitSet(TCCR1B ,CS11); // Clock on rising edge

```

```

bitSet(TCCR1B ,CS10); // you can clear this bit for falling edge
return count;
}
void setup()
{
Serial.begin(9600);
digitalWrite(5, HIGH); // hardware counter setup (see ATmega data sheet
for details)
TCCR1A=0; // reset timer/counter control register A
getCount(); // this will start the clock
}
void loop()
{
delay(1000);
Serial.println(getCount());
}
(Margolis, 567-568)

```

3.5.3 True arvojen laskeminen

Funktiolle **void CountTrue()**, rivit 488 – 582, annetaan muuttujien **w_Ind** ja **w_Spd** osoitteet tähdellä * osoitettuna, sekä GPS:stä saatu kulkunopeus muuttujissa **gps_Spd** metreinä sekunnissa ja kulkusuunta muuttujassa **gps_Ind** asteina 0 - 359. Koska tässä vaiheessa **gps_Ind** on asteina ja **w_Ind** on 0 - 15 indeksinä, pitää GPS:n astetieto muuntaa tuuli-indeksitiedoksi funktiossa **int Deg2Ind()** riveillä 248 – 302. Näin saaduilla tiedoilla lasketaan tuulen summavektorille uusi suunta ja nopeus. Nämä arvot palautuvat **w_Ind** ja **w_Spd** muuttujissa funktiosta ja kirjoitetaan talteen tietueisiin **w_SortArray1{}**, rivillä 441 ja **w_SpdArray1{}** rivillä 442. Tietueeseen osoittava indeksi **w_old** viittaa alkuperäiseen tietueeseen ennen kuin tuuli-indeksille laskettiin uusi arvo, koska tuulitieto on kuitenkin vielä ”vanhan” indeksin osoittamassa paikassa. Näihin tietueisiin kerätään True-arvot koko matkan ajalta, matkan päätteeksi tulostetaan jälleen keskiarvojakauma suurimman tuuli-indeksin osoittaman alkion arvojen mukaan. Ensimmäinen etsitään suurin tuuli-indeksi **w_SortMax** rivillä 452 ja sen mukaan haetaan tuulen yhteenlaskettu nopeus tietueesta **w_SpdArray1{}** ja jaetaan se indeksin lukumäärällä **MaxSampled** rivillä 454. Jotta tuulen nopeus, joka datatyyppiltään on float eli neljän tavun liukuluku, voitaisiin jakaa lukukerroilla, joka on tyyppiltään kahden tavun kokonaisluku eli integer, pitää jakaja muuntaa myös liukuluvuksi. Muistin vähyden vuoksi ei valmiita matemaattisia kirjastofunktioita voitu tähän käyttää vaan muunto piti tehdä laskemalla funktiolla **void Int2Float()** riveillä 468 – 474.

Näin saadaan selvitettyä keskinopeus ja -suunta tuulelle, joka on ollut suunnaltaan vallitsevin matkan aikana. Nämä arvot säilyvät tarkasteltavina laitteen menussa kaksi aina seuraavan matkan päättymiseen saakka, jonka jälkeen ne yli kirjoitetaan uusimmilla tuulitiedoilla.

Koska kyseessä oli tekijälle ensimmäinen tämän tyyppinen laite ja ohjelmointityö, alkoi koodi rakentua pitkälti konseptitestauksen palasia yhdistelemällä. Koska prosessoreita on vain yksi, eikä silläkään moniajo ole mahdollista, oli eri laitemoduulien toiminnan yhteen lomittaminen ja prosessien ajoajan jakaminen haastavaa ja mielenkiintoista.

3.6 Lopullinen testaus

3.6.1 Anemometri ja tuuli-indeksi

Anemometri kalibroitiin sijoittamalla se A/C-koneen sisälle tasaiseen ilmavirtaan. A/C konetta ajettiin manuaalisesti, jotta voitiin varmistua muuttumattomista olosuhteista. Anturia ajettiin vuorotellen alkuperäisellä sääasemalla ja sitten rakennetulla laitteella. Saatuja arvoja verrattiin keskenään ja sopivaa kerrointa käyttäen saavutettiin yhtenevät näyttämät n. 7 m/s tuulelle. Ilmavirran nopeus oli suurin, mitä koneesta saatiin. Kuten kuvasta 24 voidaan nähdä, ovat laivan oma ja laitteen käyttämä anemometri mastossa lähellä toisiaan. Näin voidaan järjestelmää hienosäätää vielä asennuksen jälkeenkin vertailemalla saatuja arvoja laivan oman järjestelmän kanssa.



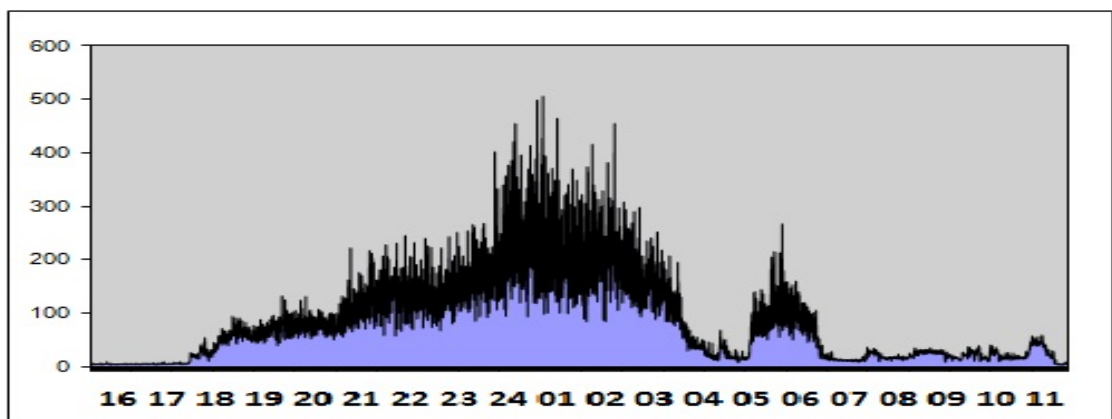
Kuva 21 Laivan ja laitteen anturit m/s Gabriellan mastossa

3.6.2 True - arvot

True-arvojen testaamiseen käytettiin ohjelmasta versiota, jossa muuttujien tuulen nopeus, aluksen nopeus ja kulkusuunta arvot syötettiin manuaalisesti ja saatuja True-arvoja tarkasteltiin tuuli-indeksin arvoa muuttamalla ja vertaamalla erikseen laskettuun arvoon. Keskeisiä asioita tarkastelussa olivat tuulen

nopeuden muutokset eri tulokulmilla suhteessa laivan runkoon, sekä tuulen suunnan vaihtelut vastaisesta myötäiseen verraten tuulen nopeuteen ja laivan nopeuteen. Esim. tuuli-indeksin näyttäessä vastaista tuulta, pitää huomioida lasketun tuulen nopeuden suhde laivan kulkunopeuteen. Jos tuulen nopeus on alempi kuin laivan kulkunopeus, on kyseinen tuuli kulkusuunnan myötäinen, vaikka tuuli-indeksi näyttääkin vastatuulta. Liitteessä 2 on koottuna saadut testitulokset, joista selviää laitteen laskemat tulokset ajoarvoja muutettaessa. Tuulen nopeudeksi on valittu 5 m/s kaikkiin testeihin. Ajosuunta ja nopeus muuttuvat taulukko-kohtaisesti merkittyinä. Testattu tuuleen suuntanäyttämä taulukon vasemmassa sarakkeessa on näyttämä laivan rungon suhteen, eli N = keula, S = perä jne., mutta laskettu tuulen suunta sarake osoittaa tuulen tosisuunnat kartan ilmansuuntien mukaan.

3.6.3 Gyro - moduuli



Kuva 22 Helsinki - Tukholma matkan kiihtyvyyssarvojen kuvaaja 25.11.2015

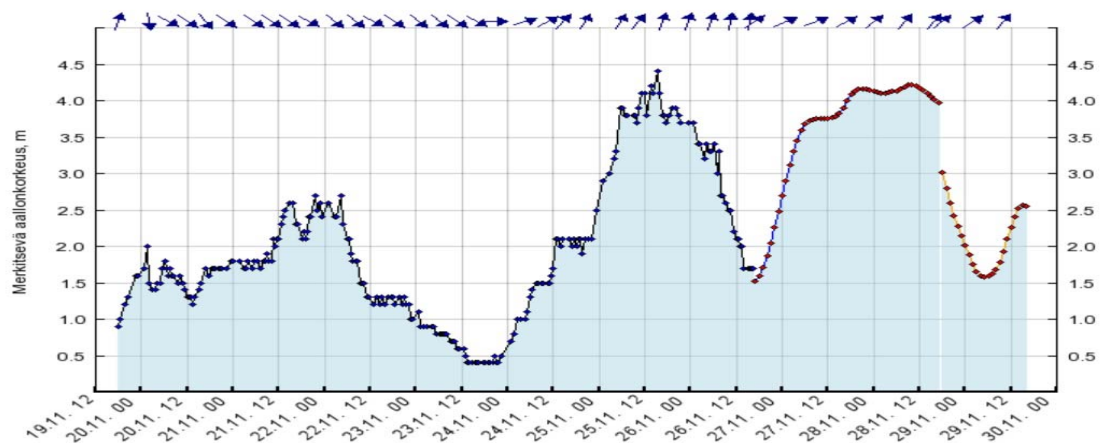
Koska tässä tutkielmassa oli tarkoitus etsiä tapoja muuttuvan aallonkorkeuden vaikutusten arvioimiseen, tuntui mielekkäämmältä keskittyä kiihtyvyyssanturin antamiin arvoihin asentoarvoja silti mitenkään ylenkatsomatta. Kuvassa 25 on 25.11.2015 alkaneen matkan taltioidut kiihtyvyydet Excel kuvaajaksi muokattuna. Lähtö Helsingistä on ollut n. 17:30, Pohjoisen Itämeren kautta on saavuttu Maarianhaminaan n. 04:20. Ahvenanmerelle on saavuttu n. 05:00 ja Tukholman saaristoon n. 06:45. Perillä Tukholmassa oltiin 11:00. Kuvaajan arvoja myötäilee kuvan 26 sääennuste, jossa odotettiin n. 3 metrin aallokkoa. Kuvassa 27, Ilmatieteenlaitoksen aallonkorkeusmittaus Pohjoisella Itämerellä 25.11.2015 päivälle osoittaa merkitsevän aallonkorkeuden olleen 4,5 metriä.

Datum	Tid Sve	Vind på 10m höjd (m/s)	Sign våghöjd (m)	Max våghöjd (m)	Ström (knop)	riktn hast
2015-11-25						
Helsingfors	16:30	-	-	-	-	-
Gråhara	16:53	-	-	-	-	-
	17:00	210	11	14	-	-
	18:00	210	13	16	2.3	360 0.1
Porkala	18:12	-	-	-	-	-
	19:00	200	13	15	2.2	360 0.1
	20:00	200	14	16	2.3	360 0.2
Russarö	20:24	-	-	-	-	-
	21:00	190	13	16	2.5	360 0.2
	22:00	190	14	17	2.8	360 0.2
Utö	23:00	180	16	19	3.2	360 0.1
2015-11-26						
	00:00	190	14	17	3.0	360 0.1
	01:00	190	7	9	-	-
	02:00	220	9	10	-	-
Nyhamn	02:28	-	-	-	-	-
	03:00	230	7	8	-	-
Mariehamn	03:20	-	-	-	-	-
	04:00	240	5	6	-	-
Söderarm	05:00	250	6	7	1.6	160 0.2
	06:00	250	5	5	-	-
	07:00	260	5	6	-	-
	08:00	260	6	7	1.1	190 0.1
	09:00	270	5	5	-	-
Stockholm	10:00	270	6	6	-	-

Kuva 23 Sääennuste Helsinki - Tukholma reitille 25.11.2015 (ms Gabriella 2015)

Kiihtyvyyssanturin dataa on mahdollista käsitellä joko maan vetovoiman huomioon ottavana tai se pois laskettuna, eli yksinomaan kiihtyvyyden muutosta mittaavana suurena kaikkien kolmen akselin suhteen. Koska tällöin on maan vetovoimavaikutus laskettu pois datasta, häviää mukana myös anturin x-y-z suuntainen asentotieto. Jos tätä tarvitaan, tulee asento huomioida koodissa jollain muulla menetelmällä. Koska kyseessä oli konseptitestausta alukseen vaikuttavien kiihtyvyyksien havainnointiin, tyydyttiin koodissa vain laskemaan yhteen havaittujen kiihtyvyyksien itseisarvot 50 arvon keskiarvojakaumana. Korrelaatio havaittiin vertailemalla saatuja empiirisiä arvoja mm. sääennusteen ja havaittuun aallonkorkeusmittaukseen Ilmatieteenlaitokselta.

Pohjoinen Itämeri



Kuva 24 Ilmatieteenlaitoksen aallonkorkeutta ilmaiseva kuvaaja, josta on nähtävissä, että merkitsevä aallonkorkeus 25.11.2015 yöllä oli 4,5 m. (Ilmatieteenlaitos 2015)

4 JOHTOPÄÄTÖKSET

Kyseessä oli ensimmäinen tekijän mikrokontrollerin rakennus- ja ohjelmointityö ja tarjosi se siten haasteita monella tavalla. Jo pelkästään muuttujien arvojen tulostus LCD näytölle tuntui aluksi ihmeelliseltä saavutukselta. Ehkäpä innostusta riittikin juuri näiden pienten onnistumisten myötä, kun anturien luku alkoi sujua ja keskittyminen voitiin kohdistaa halutun laisen tiedon esille saamiseen suuremmista vaikeuksista. Toki paljon piti opiskella muiden koodia, jotta Arduino-kontrolleri alkoi taipua haluttuihin toimiin. Mahdollisuus käyttää korkean tason C++-kieltä mahdollisti aloittelijankin koodin ajamisen ja aiempi käsitys kontrollereiden vaikeasta ohjelmoinnista muuttui täysin. Yllättävää oli näinkin pienen kontrollerin monipuolisuus ehkä Unon muistin pienuutta lukuun ottamatta. Mutta sekin saadaan kohta korjattua ja sitten ei ole kuin mielikuviutus rajana, mitä mikrokontrollerilla voi tehdä.

Laite nykyisellä kokoonpanolla palvelee tarkoitustaan, johon se rakennettiin. Osa ihmisaistein suoritetusta tiedonkeruusta saatiin automaation piiriin. Tosin vieläkin pitää lopputieto laitteesta siirtää käsin matkaraporttiin, koska olemassa oleva raportointijärjestelmä ei tunne liittymäpintoja ulkopuolisiin tiedon syöttöjärjestelmiin.

Laitteen vakaudesta ja herkkyydestä ei tämän työn osalta voi tehdä kovin tarkkoja johtopäätöksiä, koska se vaatisi pitkällistä vertailua jonkin vastaavan laitteen rinnalla. Kiihtyvyyssanturia testattaessa ilmestyi sen dataan satunnaisia suuria arvojen hypäksenomaisia muutoksia, kun GPS-anturi ajettiin rinnalle käyntiin. Ongelmaa ei alettu tutkia sen tarkemmin koska tiedossa jo oli, että kiihtyvyyssanturin kirjastojen suuri koko estää sen käytön Uno kortilla primääritavoite ohjelmiston kanssa. Mutta ongelma tulee ratkottavaksi Arduino Mega kortin kanssa työskenneltäessä.

Joka tapauksessa tarjoaa tällainen harrastepohjainenkin mikro-kontrolleri oikein hyvän mahdollisuuden tutkia ja muokata erilaisten anturien antamaa dataa ja siten avartaa käyttäjänsä ymmärrystä alusten automaatiojärjestelmien toiminnasta pintaa syvemmillä.

5 JATKOKEHITYS

5.1.1 Tuulen suunta ja voimakkuus

Tuulen suunnan ja voiman vaikutuksia arvioitaessa voidaan tarkastella esimerkiksi kuvan 28 matkaa Helsingistä Maarianhaminaan ja katsoa, millaista tietoa matkasta olisi mahdollista generoida samalla lähtöaineistolla. Matka kestää 11 tuntia. Ajatellaan että tuulen suunta on koko ajan etelästä, tuuli voimistuu 0,5 m/s tunnissa koko matkan ajan alkaen 4 m/s ja päättyen 9 m/s.

Matkan aikana rekisteröidään havaitut tuuliolosuhteet ja lasketaan niistä vallitseva tuulen suunta ja nopeus.

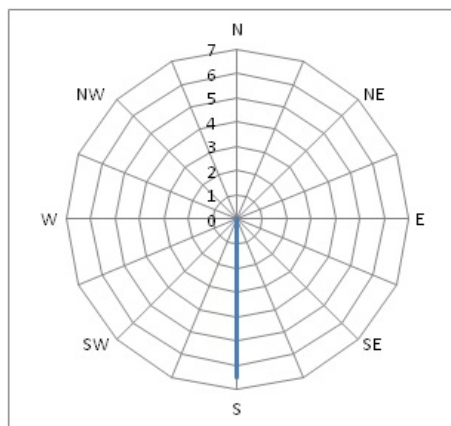
Mitattu keskituuli on näin ollen 6,5 m/s ja suunta S. Tämä tieto kirjoitetaan talteen matkaraporttiin matkan päätteeksi.



Kuva 25 Matkan kuvaaja välillä Helsinki - Maarianhamina (muokattu kartor.enero.se 2016)

u

Kuvassa 26 kuvaajaksi muutettuna on data esitys varsin yksiselitteinen, kuten lienee tarkoituskin.



Kuva 26 Tuulen suunta ja nopeus yksiulotteisena kuvaajana

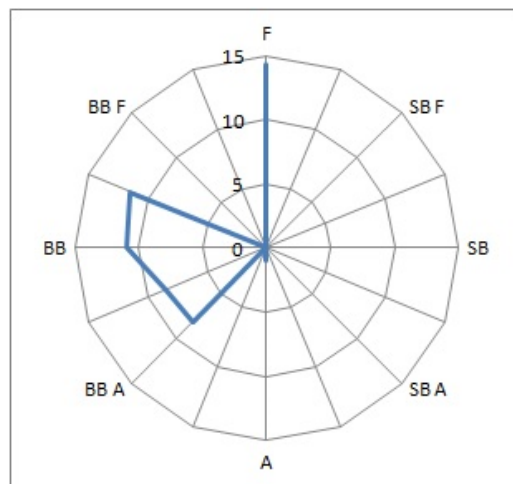
Kerättyä dataa havaitusta tuulesta laivan rungon suhteen ei käytetä sinällään hyväksi, mutta seuraavassa pohditaan edellä saadun aineiston analysointia siinä suhteessa, että olisiko data informatiivisempaa toisin esitettynä.

Lähtöarvot ovat samat kuin alussa mutta laivan liikkeiden aiheuttamat arvot edelleen mukana:

`w_SpdArray[985,0,0,0,0,0,0,0,0,0,846,294,760,795,0,0]`; sisältää yhteenlaskettuna tuulen kokonaismäärän m/s per havaittu tuulen suunta 0-15

`w_sortArray[69,0,0,0,0,0,0,0,0,0,104,35,69,69,0,0]`; sisältää lukukerrat per havaittu tuulen suunta 0-15.

Jakamalla indeksin osoittamat arvot tietueista keskenään, saadaan tuulen keskinopeudeksi esim. indeksillä [0] (= N) $985/69 = 14$ m/s.

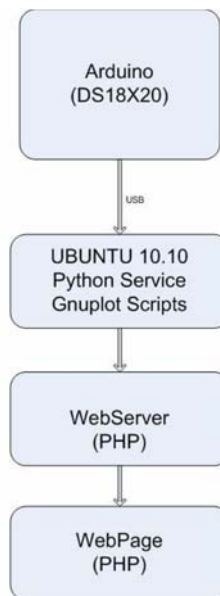


Kuva 27 Tuulen vaikutuksen kuvaus aluksen runkoon koko matkan ajalta.

Kuvaajaksi muutettuna saadaan kuvasta 30 selkeämpi käsitys tuulen suunnista laivan rungon suhteen. Huomattavaa on ero vasta- (F) ja myötätuulten (A) välillä, vaikka loppumatkasta myötätuuli onkin ollut etelästä 9 m/s. Kuvaajassa kasvaa vastatuulen 4 m/s osuus matkan alussa arvoon 14 m/s ja vastaavasti kompensoituu takatuuli 9 m/s yhdeksi metriksi sekunnissa vastaista laivan kulkiessa kyseiseen aikaan 10 m/s myötätuuleen. Samoin alkupuolisko matkan hallinnut sivuvastainen ja puolenvälin jälkeen vallinnut sivumyötäinen kuvautuvat selkeästi. Toisen suuntaisella matkalla olisi kuvaaja peilikuva edellisestä.

5.1.2 MPU-6050 kiihtyvyyssanturi ja Sea State

Kiihtyvyyssanturia aiotaan kokeilla lisää, kunhan prosessorikortti saadaan vaihdettua Arduino Mega-korttiin, jossa muistia on 256 kb Unon 32 kb sijaan. Koikeiltavaksi jää, kuinka aaltojen frekvenssi saadaan datasta selvitettyä. Mahdollisuuksia sen laskemiseen on monia. Lisäksi kytkettänee laite Linux-serveriin, jotta kiihtyvyyssanturin merkittävästi suurempi datamäärä saataisiin siirretyksi talteen ja kuvatuksi helppotajuisempaan graafiseen muotoon esim. GnuPlot ohjelmalle (Väyrynen 2011).



Kuva 28 Lohkokaavio Arduinon kytkemisestä Linux-serveriin (Väyrynen 2011).

LÄHTEET

ABB. 2007. ABB elibrary. Torductor-S.
https://library.e.abb.com/public/eef8846525950f25c1257380003623c6/3BSE02227R0101_001.pdf [viitattu 1.3.2015]

ABB. 2014a. Coriolis Master. Operating instruction.
https://library.e.abb.com/public/d65feba9d7ab7fd7c1257cdd0046180e/OI_FC_B300_FCH300_EN_F.pdf [viitattu 1.3.2016]

ABB. 2014b. ABB power lehti 2/14. Energiatohokkuuden edelläkävijä - Case: Viking Grace & EMMA
<http://www.slideshare.net/ABBSuomi/abb-emma> [viitattu 24.2.2016]

ABB. 2016a. Advisory Systems.
<http://new.abb.com/marine/systems-and-solutions/automation-and-advisory/advisory> [viitattu 23.2.2016]

ABB. 2016b. ABB elibrary
https://library.e.abb.com/public/334a5fe2aec2d1b2c1257a8a003bc786/ABB%20Generations_19%20Emma%20Ship%20Energy%20Manager.pdf [viitattu 24.2.2016]

About Shipping. 2012. What is the SEEMP
<http://about-ship.blogspot.fi/2012/05/what-is-seemp.html> [viitattu 25.2.1016]

Andersson S. 2015. Päällikkö m/s Grace. Haastattelu 11.8.2015 m/s Gabriella.

Arduino. 2016a. Introduction to the Arduino Board.
<https://www.arduino.cc/en/Reference/Board> [viitattu 31.3.2016]

Arduino. 2016b. Introduction to the Arduino board.
<https://www.arduino.cc/en/Reference/Board> [viitattu 31.3.2016]

Arduino. 2016c. What is Arduino?
<https://www.arduino.cc/en/Guide/Introduction> [viitattu 17.12.2015]

Arduino. 2016d. Arduino Ethernet Shield
<https://www.arduino.cc/en/Main/ArduinoEthernetShield> [viitattu 3.3.2016]

Arduino. 2016e. SPI Library
<https://www.arduino.cc/en/Reference/SPI> [viitattu 5.3.2016]

Arduino. 2016f. Arduino Software (IDE)
<https://www.arduino.cc/en/Guide/Environment> [viitattu 19.12.2015]

codebender. 2015. TinyGPS++: Full example
<https://codebender.cc/example/TinyGPS++/FullExample#FullExample.ino> [viitattu 12.5.2015]

de Weck, Olivier L. 2001. Attitude Determination and Control (ADCS)
http://ocw.mit.edu/courses/aeronautics-and-astronautics/16-851-satellite-engineering-fall-2003/lecture-notes/l9_acs.pdf [viitattu 1.3.2016]

DX. 2016a.

<http://www.dx.com/fi/p/gy-521-mpu6050-3-axis-acceleration-gyroscope-6dof-module-blue-154602#.Vv0aso9OLIV> [viitattu 22.2.2016]

DX. 2016b.

<http://www.dx.com/fi/p/electfreaks-50-channel-gps-bee-data-mini-embedded-antenna-module-shield-board-for-arduino-381150#.Vtf7fNA0j7w> [viitattu 22.2.2016]

DX. 2016c.

<http://www.dx.com/fi/p/arduino-iic-i2c-serial-3-2-lcd-2004-module-display-138611#.Vtf7LNA0j7w> [Viitatu 22.2.2016]

Eniram. 2016. Products

<http://www.eniram.fi/products/> [viitattu 24.2.2016]

Hart M. 2015 GitHub, Inc. TinyGPS++ library files.

<https://github.com/mikalhart/TinyGPSPPlus/tree/master/examples> [viitattu 12.5.2015]

InvenSense. 2014. MPU-6050 Data Sheet

<http://www.invensense.com/products/motion-tracking/6-axis/mpu-6050/> [Viitattu 13.2.2016]

I2C Bus.2016a. I2C – What’s that?

<http://www.i2c-bus.org/> [viitattu 5.3.1016]

I2C Bus. 2016b. MultiMaster

<http://www.i2c-bus.org/MultiMaster/> [viitattu 5.3.2016]

Ignatius J. 2012. Viking Grace Teknologia

<http://www.vikinggrace.com/abbs-emma-advisory-suite-ms-viking-grace/> [viitattu 26.2.2016]

Ignatius J. 2014. ABB’s Marine Advisory System.

http://www.thedigitalship.com/conferences/presentations/2014bergen/day1_ses/DSBergen_Jukka_Ignatius.pdf [viitattu 26.2.2016]

Ilmatieteen laitos. 2016. Aallokko Itämerellä

<http://ilmatieteenlaitos.fi/aallokko-itamerella> [viitattu 22.3.2016]

IMO. 2011. MEPC.1/Circ.683. Form of a ship energy efficiency management plan (SEEMP)

<http://www.imo.org/en/MediaCentre/HotTopics/GHG/Documents/683%20SEEMP.pdf#search=MEPC%2E1%2FCirc%2E683> [Viitattu 22.2.2016]

IMO. 2012. MEPC 63/23, Annex 9. 2012 Guidelines for the development of a ship energy efficiency management plan (SEEMP)
[http://www.imo.org/en/KnowledgeCentre/IndexofIMOResolutions/Documents/MEPC%20-%20Marine%20Environment%20Protection/213\(63\).pdf#search=MEPC%2063%2F23](http://www.imo.org/en/KnowledgeCentre/IndexofIMOResolutions/Documents/MEPC%20-%20Marine%20Environment%20Protection/213(63).pdf#search=MEPC%2063%2F23) [viitattu 22.2.2016]

IMO. 2015a. MEPC.203(62), annex 19. Amendments to the annex of the protocol of 1997 to amend the international convention for the prevention of pollution from ships, 1973, as modified by the protocol of 1978 relating thereto
[http://www.imo.org/en/OurWork/Environment/PollutionPrevention/AirPollution/Documents/203\(62\).pdf#search=MEPC%2E203%2862%29](http://www.imo.org/en/OurWork/Environment/PollutionPrevention/AirPollution/Documents/203(62).pdf#search=MEPC%2E203%2862%29) [viitattu 25.2.2016]

IMO 2015b. MEPC.1/Circ.684. Annex guidelines for voluntary use of the ship energy efficiency operational indicator (EEOI)
<http://www.imo.org/en/OurWork/Environment/PollutionPrevention/AirPollution/Documents/Circ-684.pdf#search=MEPC%2E1%2FCirc%2E684> [viitattu 25.2.2016]

IMO. 2016a. Introduction to IMO
<http://www.imo.org/en/About/Pages/Default.aspx> [viitattu 22.2.2016]

IMO 2016b. Energy Efficiency Measures
<http://www.imo.org/en/OurWork/Environment/PollutionPrevention/AirPollution/Pages/Technical-and-Operational-Measures.aspx> [viitattu 25.2.2016]

Lehto P. 2014. Opinnäytetyö Laiva-automaation suunnittelu ja ohjeistus.
https://www.theseus.fi/bitstream/handle/10024/70923/Pasi_Lehto.pdf?sequence=1 [viitattu 26.2.2016]

MNX. 2016. What is MEMS Technology?
<https://www.mems-exchange.org/MEMS/what-is.html> [viitattu 31.3.2016]

Margolis Michael. 2011. Arduino Cookbook. O'Reilly. 567-568

Oberberger M. 2013. Arduino Weatherstation.
<http://maxoberberger.net/projects/arduino-weatherstation/> [viitattu 31.3.2016]

Onnettomuustutkintakeskus. 1998. Tutkintaselostus B2/1998 M. msGabriella, keulaportin vaurio Suomenlahdella 24.10.1998
http://turvallisuustutkinta.fi/material/attachments/otkes/tutkintaselostukset/fi/ve-siliikenneonnettomuuksientutkinta/1998/b21998m_tutkintaselostus/b21998m_tutkintaselostus.pdf [viitattu 24.3.2016]

Polvinen J. 2012. Matematiikan pro-gradu tutkielma Kompleksiluvut ja kvaterniot kiertoina. Jyväskylän yliopisto.
<https://jyx.jyu.fi/dspace/bitstream/handle/123456789/40539/URN:NBN:fi:ju-201212053307.pdf?sequence=1> [viitattu 1.3.2016]

Pursiainen H. 2011. Opinnäytetyö Kallistuman mittaaminen kiihtyvyyssanturilla järjestelmän asennon säätämiseksi. Jyväskylän ammattikorkeakoulu.
<https://www.theseus.fi/handle/10024/32689> [viitattu 30.2.2016]

Physics 24/7.2016. Torque Sensors and Domain Theory
<http://www.physics247.com/physics-tutorial/torque-sensors.shtml> [viitattu 30.2.2016]

Robot Electronics. 2016. Using the I2C Bus.
<http://www.robot-electronics.co.uk/i2c-tutorial> [viitattu 5.3.2016]

Rodenas, Luis. s.a. Arduino Sketch to automatically calculate MPU6050 offsets
<http://www.i2cdevlib.com/forums/topic/96-arduino-sketch-to-automatically-calculate-mpu6050-offsets/> [viitattu 21.3.2016]

Rosenqvist M. 2016. Sähkömestari m/s Grace. Haastattelu 15.1.2016
m/sGrace

Starting Electronics. 2014. Arduino SD card web server
<https://startingelectronics.org/tutorials/arduino/ethernet-shield-web-server-tutorial/SD-card-web-server/> [viitattu 23.3.2016]

Soininen H., Karppinen T., Kahma K., Kukkanen T., Rintala S. 2001. Ro-Ro Passenger Ship Bow Door Structural Design. SNAME Transactions, Vol. 109, 2001, pp. 269-283
<http://www.sname.org/HigherLogic/System/DownloadDocumentFile.ashx?DocumentFileKey=d0aa0ff5-e900-43d4-b347-030d87a6d502> [viitattu 21.3.2016]

Slideshare. 2014. ABB Power lehti 2/14. Energiatehokkuuden edelläkävijä. case: Viking Grace & EMMA.
<http://www.slideshare.net/ABBSuomi/abb-emma> [viitattu 24.2.2016]

Vuorinen J. 2014. Opinnäytetyö Energiatehokkuuden tehostaminen Viking XPRS aluksella. YAMK Kymenlaakson ammattikorkeakoulu.
https://publications.theseus.fi/bitstream/handle/10024/72090/vuorinen_juha.pdf?sequence=1 [viitattu 2.3.2016]

Väyrynen A. 2011. Opinnäytetyö Mikrokontrollerin integroiminen Linux-käyttöjärjestelmään. Oulun seudun ammattikorkeakoulu.
https://www.theseus.fi/bitstream/handle/10024/26666/Vayrynen_Ari.pdf?sequence=1 [viitattu 31.3.2016]

Weather Datalogger v 1.0

18.2.2016

Så här ser apparaten ut. Data samling börjar automatiskt efter GPS mottagaren for kontakt med åtminstone 3 satelliter (gul diod 3 lyser) och färjan har medelhastighet > ~3 knop. Blå diod 1 blinkar hela tiden och visar att GPS-mottagning pågår. Rör diod 2 lyser då å då när apparaten uppdaterar datarekord 8.

Datum (5) och tidpunkt (6) visas hela tiden. OBS, tiden är UTC, Coordinated Universal Time.



Huvud menu 1

Råd 7 visar Apparent Wind, vind hastighet och riktning

såsom dom påverkar fartyg. Råd 8 visar kalkulerad värdena för vind riktning och hastighet utan fartygets rörelse.

Råd 9 visar status om data samlas eller inte. Punkt 10 visar antal satelliter. 4 är Menu knapp. Den ändrar visning av skärmen. Efter ~10 sek. ändrar visningen tillbaka om man inte har tryckt knappen igen tidigare.

Här är andra skärmen efter knappen. Den visar statistiken av den sista resan tills nästa resa är gjord.

Råd 1 visar medeltal av vind hastighet för hela resan.

Råd 2 visar vind riktning, som har varit skenbar för det mest för resan.

Värdena hittas härifrån tills nästa resa är över och är över-



Huvud menu 2

skriven med nya värdena. Knapp 3 lyser 50%.

Mittapöytäkirja

17.2.2016

Ajosuunta 0 astetta Ajonopeus 3 kn = 1,543333 m/s			
	Tuuli m/s	lask. suunta	lask. nopeus m/s
Suunta			
NW	5	NWW	3,17
W	5	SWW	5,23
SW	5	SSW	5,89
S	5	S	6,54
SE	5	SSE	5,89
E	5	SEE	5,23
NE	5	NEE	3,17
N	5	NNW	3,34
Ajosuunta 0 astetta Ajonopeus 10 kn = 5,144444 m/s			
	Tuuli m/s	lask. suunta	lask. nopeus m/s
Suunta			
NW	5	S	2,3
W	5	SW	7,17
SW	5	SSW	9,36
S	5	S	10,14
SE	5	SSE	9,36
E	5	SE	7,17
NE	5	S	2,3
N	5	S	0,14

Ajosuunta 0 astetta Ajonopeus 20 kn = 10,28889 m/s			
	Tuuli m/s	lask. suunta	lask. nopeus m/s
Suunta			
NW	5	SSW	6,6
W	5	SW	11,44
SW	5	S	14,43
S	5	S	15,29
SE	5	S	14,43
E	5	SE	11,44
NE	5	SSE	6,6
N	5	S	5,29
Ajosuunta 45 astetta Ajonopeus 3 kn = 1,543333 m/s			
	Tuuli m/s	lask. suunta	lask. nopeus m/s
Suunta			
NW	5	NNW	3,17
W	5	NWW	5,23
SW	5	SWW	5,89
S	5	SW	6,54
SE	5	SSW	5,89
E	5	SSE	5,23
NE	5	SEE	3,17
N	5	NE	3,46

Mittapöytäkirja

17.2.2016

Ajosuunta 45 astetta			
Ajonopeus 10 kn = 5,144444 m/s			
Suunta	Tuuli m/s	lask. suunta	lask. nopeus m/s
NW	5	SW	2,3
W	5	W	7,17
SW	5	SWW	9,36
S	5	SW	10,14
SE	5	SSW	9,36
E	5	S	7,17
NE	5	SW	2,3
N	5	SW	0,14

Ajosuunta 135 astetta			
Ajonopeus 3 kn = 1,543333 m/s			
Suunta	Tuuli m/s	lask. suunta	lask. nopeus m/s
NW	5	NEE	3,17
W	5	NNE	5,23
SW	5	NNW	5,89
S	5	NW	6,54
SE	5	NWW	5,89
E	5	SWW	5,23
NE	5	SSW	3,17
N	5	SE	3,46

Ajosuunta 135 astetta Ajonopeus 10 kn = 5,144444 m/s			
Suunta	Tuuli m/s	lask. suunta	lask. nopeus m/s
NW	5	NW	2,3
W	5	N	7,17
SW	5	NNW	9,36
S	5	NW	10,14
SE	5	NWW	9,36
E	5	W	7,17
NE	5	NW	2,3
N	5	NW	0,14
Ajosuunta 225 astetta Ajonopeus 3 kn = 1,543333 m/s			
Suunta	Tuuli m/s	lask. suunta	lask. nopeus m/s
NW	5	SSE	3,17
W	5	SEE	5,23
SW	5	NEE	5,89
S	5	NE	6,54
SE	5	NNE	5,89
E	5	NNW	5,23
NE	5	NWW	3,17
N	5	SW	3,46

Mittapöytäkirja

17.2.2016

Ajosuunta 225 astetta			
Ajonopeus 10 kn = 5,144444 m/s			
Suunta	Tuuli m/s	lask. suunta	lask. nopeus m/s
NW	5	NE	
W	5	E	2,3
SW	5	NEE	7,17
S	5	NE	9,36
SE	5	NNE	10,14
E	5	N	9,36
NE	5	NE	7,17
N	5	NE	2,3
			0,14

Ajosuunta 315 astetta			
Ajonopeus 3 kn = 1,543333 m/s			
Suunta	Tuuli m/s	lask. suunta	lask. nopeus m/s
NW	5	SWW	3,17
W	5	SSW	5,23
SW	5	SSE	5,89
S	5	SE	6,54
SE	5	SEE	5,89
E	5	NEE	5,23
NE	5	NNE	3,17
N	5	NW	3,46

Ajosuunta 315 astetta Ajonopeus 10 kn = 5,144444 m/s			
Suunta	Tuuli m/s	lask. suunta	lask. n opeus m/s
NW	5	SE	2,3
W	5	S	7,17
SW	5	SSE	9,36
S	5	SE	10,14
SE	5	SEE	9,36
E	5	E	7,17
NE	5	SE	2,3
N	5	SE	0,14

```

1 #include <LiquidCrystal_I2C.h>
2 #include <TinyGPS++.h>
3 #include <SoftwareSerial.h>
4 #include "Wire.h"
5 #include <SPI.h>
6
7 LiquidCrystal_I2C lcd(0x27, 20, 4);
8 static const int RXPin = A1, TXPin = A0; //NMEA data
9 static const int GPSBaud = 9600;
10 TinyGPSPlus gps; // The TinyGPS++ object
11 SoftwareSerial ss(RXPin, TXPin); // The serial connection to the GPS device
12
13 int offSet = 0;
14 int Yled = 6;
15 int Rled = 7;
16 int SW1led = 8;
17 int Bled = 9;
18 int sensor_1 = 5;
19 int sensor_2 = A2;
20 int menuSw = 1;
21 bool menu2_ON = false;
22 int rounds = 0;
23 int r100 = 10;
24 float top_speed = 0;
25 int logDelayCount = 0;
26 int countD = 0;
27 int sp_count = 0;
28 String w_dirInd[16] =
{"N","NNE","NE","NEE","E","SEE","SE","SSE","S","SSW","SW","SWW","W","NWW","NW","NN
W"};
29 float w_degInd[16] =
{0,22.5,45,67.5,90,112.5,135,157.5,180,202.5,225,247.5,270,292.5,315,337.5};
30 int w_dirArray[17]; // First 100 samples to Dir calculations
31 float w_SpdArray[16]; // First 100 samples to Spd calculations
32 int w_sortArray1[16]; // Collecting table of True wind directions
throughout the voyage
33 float w_SpdArray1[16]; // Collecting table of True wind speeds throughout
the voyage
34 int w_max;
35 int w_SortMax;
36 int GPS_s;
37 float w_Spd;
38 float Gspeed;
39 String TrueInd = "No data";
40 float TrueWind;
41 int w_sensVal = HIGH;
42 int w_sens = HIGH;
43 bool blinkState = true;
44 bool logOn = false;
45 bool logOk = true;
46 bool logDelay = true;
47 bool stopDelay = false;
48 bool Gdown = false;
49 bool menu_Clear = false;
50 int menu2_Clear;
51 bool Menu2_Clear = false;
52 unsigned long count;
53 float gps_Speed;
54 float gps_Course;
55
56 unsigned long getCount()

```

```

57 {
58 TCCR1B = 0;
59 count = TCNT1;
60 TCNT1 = 0;
61 bitSet(TCCR1B , CS12);
62 bitSet(TCCR1B , CS11);
63 bitSet(TCCR1B , CS10);
64 // Gate Off / Counter Tn stopped
65 // Counter Clock source is external pin
66 // Clock on rising edge
67 // you can clear this bit for falling edge
68 return count;
69 }
70 // =====
71 // === INITIAL SETUP ===
72 // =====
73
74 void setup() {
75 lcd.init(); // initialize the lcd
76 lcd.backlight();
77 lcd.clear();
78 pinMode(Bled, OUTPUT); // initialize ports
79 pinMode(Rled, OUTPUT);
80 pinMode(Yled, OUTPUT);
81 pinMode(SW1led, OUTPUT);
82 pinMode(sensor_1, INPUT);
83 pinMode(sensor_2, INPUT);
84 pinMode(menuSw, INPUT);
85 analogWrite(SW1led, 135);
86 analogWrite(Bled, 150);
87 Wire.begin();
88 TWBR = 24; // 400kHz I2C clock (200kHz if CPU is 8MHz)
89 Serial.begin(115200); //initialize serial monitor
90 ss.begin(GPSBaud); //Initialize GPS
91 attachInterrupt(menuSw,handle_click,RISING); //Initialize the Menu button
interrupt
92 digitalWrite(5, HIGH);
93 TCCR1A = 0;
94 getCount();
95 lcd.setCursor(0, 0); lcd.print("DATALOGGER v1.1 2016");
96 lcd.setCursor(0, 1); lcd.print("Arduino open project");
97 lcd.setCursor(0, 2); lcd.print("Freeware copyright");
98 lcd.setCursor(0, 3); lcd.print("2016 Juha Vainio");
99 feedGPS(5000);lcd.clear();
100 lcd.setCursor(0, 1); lcd.print("AppW:");
101 lcd.setCursor(0, 2); lcd.print("TrueW:");
102 lcd.setCursor(9, 2); lcd.print("Calculating");
103 lcd.setCursor(0, 3); lcd.print("NO LOGGING");
104 lcd.setCursor(11, 3); lcd.print("Nr SAT");
105 }
106 // =====
107 // === MAIN PROGRAM LOOP ===
108 // =====
109
110 void loop() {
111     windSpeed();
112     if (stopDelay) {
113         stopWatch();
114     }
115     if (menu2_ON) {
116         menu_Clear = true;
117         if (menu2_Clear <= 10) {
118             menu2();
119             menu2_Clear++;

```



```

120         analogWrite(SW1led, 0);}
121     else {
122         menu2_ON = !menu2_ON;
123         menu2_Clear = 0;}
124     } else {
125         if (menu_Clear) {
126             lcd.clear();
127             lcd.setCursor(0, 1); lcd.print("AppW:");
128             lcd.setCursor(0, 2); lcd.print("TrueW:");
129             lcd.setCursor(9, 2); lcd.print("Calculating");
130             lcd.setCursor(0, 3); lcd.print("NO LOGGING");
131             lcd.setCursor(11, 3); lcd.print("Nr SAT");
132             menu_Clear = false;}
133         menu1();
134         analogWrite(SW1led, 255);
135     }
136 }
137
138 static void stopWatch() {
139     countD += 1;
140     if (countD == 2) {
141         stopDelay = false;
142         countD = 0;
143         Serial.println("logging restart allowed");
144     }
145 }
146
147 void menu1() {
148     Menu2_Clear = false;
149     printDate(gps.date);
150     printTime(gps.time);
151     lcd.setCursor(18, 3); lcd.print(" ");
152     lcd.setCursor(18, 3); lcd.print(GPS_s);
153 }
154
155 void menu2() {
156     if (!Menu2_Clear) {
157         lcd.clear();
158         printDate(gps.date);
159         printTime(gps.time);
160         lcd.setCursor(0, 1); lcd.print("Last journey stats: ");
161         lcd.setCursor(0, 2); lcd.print("True Wind: ");
162         lcd.setCursor(12, 2); lcd.print(TrueWind);
163         lcd.setCursor(0, 3); lcd.print("True Dir: ");
164         lcd.setCursor(12, 3); lcd.print(TrueInd);
165     }
166     Menu2_Clear = true;
167 }
168
169 void handle_click () {
170     static unsigned long last_interrupt_time = 0;
171     unsigned long interrupt_time = millis();
172     if (interrupt_time - last_interrupt_time > 200 ) {
173         menu2_ON = !menu2_ON;
174     }
175     last_interrupt_time = interrupt_time;
176 }
177
178 float windSpeed() {
179     static int w_count;
180     float timeS = millis();
181     GPS();
182     if (!menu2_ON){
183         menu1(); }

```

```

184     delay(1000);
185     float time2 = millis() - timeS;
186     w_Spd = (((getCount() * 1000) / (time2))*0.17));
187     windDir();
188         if (!menu2_ON) {
189             lcd.setCursor(9, 1); lcd.print(w_Spd);}
190 }
191
192 int Deg2Ind(float Degrees)
193 {
194     if (Degrees >=349 || Degrees < 11) {
195         Degrees = w_degInd[0];
196     }
197     else if (Degrees >= 11 && Degrees < 34) {
198         Degrees = w_degInd[1];
199     }
200     else if ( Degrees >=34 && Degrees < 56) {
201         Degrees = w_degInd[2];
202     }
203     else if (Degrees >= 56 && Degrees < 79) {
204         Degrees = w_degInd[3];
205     }
206     else if (Degrees >= 79 && Degrees < 101) {
207         Degrees = w_degInd[4];
208     }
209     else if (Degrees >= 101 && Degrees < 124) {
210         Degrees = w_degInd[5];
211     }
212     else if (Degrees >= 124 && Degrees < 146) {
213         Degrees = w_degInd[6];
214     }
215     else if (Degrees >= 146 && Degrees < 169) {
216         Degrees = w_degInd[7];
217     }
218     else if (Degrees >= 169 && Degrees < 191) {
219         Degrees = w_degInd[8];
220     }
221     else if (Degrees >= 191 && Degrees < 214) {
222         Degrees = w_degInd[9];
223     }
224     else if (Degrees >= 214 && Degrees < 236) {
225         Degrees = w_degInd[10];
226     }
227     else if (Degrees >= 236 && Degrees < 259) {
228         Degrees = w_degInd[11];
229     }
230     else if (Degrees >= 259 && Degrees < 281) {
231         Degrees = w_degInd[12];
232     }
233     else if (Degrees >= 281 && Degrees < 304) {
234         Degrees = w_degInd[13];
235     }
236     else if (Degrees >= 304 && Degrees < 326) {
237         Degrees = w_degInd[14];
238     }
239     else if (Degrees >= 326 && Degrees < 349) {
240         Degrees = w_degInd[15];
241     }
242     else {
243         Serial.println("Value out of range! Can't be...");
244     }
245     return Degrees;
246 }
247

```

```

248 int deg2Int(int Degrees)
249 {
250     if (Degrees >=349 || Degrees < 11) {
251         Degrees=0;
252     }
253     else if (Degrees >= 11 && Degrees < 34) {
254         Degrees=1;
255     }
256     else if ( Degrees >=34 && Degrees < 56) {
257         Degrees=2;
258     }
259     else if (Degrees >= 56 && Degrees < 79) {
260         Degrees=3;
261     }
262     else if (Degrees >= 79 && Degrees < 101) {
263         Degrees=4;
264     }
265     else if (Degrees >= 101 && Degrees < 124) {
266         Degrees=5;
267     }
268     else if (Degrees >= 124 && Degrees < 146) {
269         Degrees=6;
270     }
271     else if (Degrees >= 146 && Degrees < 169) {
272         Degrees=7;
273     }
274     else if (Degrees >= 169 && Degrees < 191) {
275         Degrees=8;
276     }
277     else if (Degrees >= 191 && Degrees < 214) {
278         Degrees=9;
279     }
280     else if (Degrees >= 214 && Degrees < 236) {
281         Degrees=10;
282     }
283     else if (Degrees >= 236 && Degrees < 259) {
284         Degrees=11;
285     }
286     else if (Degrees >= 259 && Degrees < 281) {
287         Degrees=12;
288     }
289     else if (Degrees >= 281 && Degrees < 304) {
290         Degrees=13;
291     }
292     else if (Degrees >= 304 && Degrees < 326) {
293         Degrees=14;
294     }
295     else if (Degrees >= 326 && Degrees < 349) {
296         Degrees=15;
297     }
298     else {
299         Serial.println("Value out of range! Can't be...");
300     }
301     return Degrees;
302 }
303
304 void windDir()
305 {
306     String w_dir;
307     digitalWrite(Rled, false);
308     int w_value = (analogRead(sensor_2) + offSet);
309     if (w_value >= 775 && w_value < 880) {
310         w_dir = "N"; w_dirArray[0] += 1;
311         if (logOn) { w_SpdArray[0] += w_Spd;}

```

```

312     if (!menu2_ON) {
313         lcd.setCursor(15, 1); lcd.print("N ");}
314     } // 1
315     else if (w_value >= 350 && w_value < 435) {
316         if (!menu2_ON) {
317             lcd.setCursor(15, 1); lcd.print("NNE");}
318             w_dir = "NNE"; w_dirArray[1] += 1;
319             if (logOn) { w_SpdArray[1] += w_Spd;}
320         }
321         else if ( w_value >= 435 && w_value <540) {
322             if (!menu2_ON) {
323                 w_dir = "NE"; w_dirArray[2] += 1;}
324                 if (logOn) { w_SpdArray[2] += w_Spd;}
325                 if (!menu2_ON) {
326                     lcd.setCursor(15, 1); lcd.print("NE ");}
327                 }
328                 else if (w_value >= 75 && w_value < 89) {
329                     w_dir = "NEE"; w_dirArray[3] += 1;
330                     if (logOn) { w_SpdArray[3] += w_Spd;}
331                     if (!menu2_ON) {
332                         lcd.setCursor(15, 1); lcd.print("NEE");}
333                     }
334                     else if (w_value >= 89 && w_value < 115) {
335                         w_dir = "E"; w_dirArray[4] += 1;
336                         if (logOn) { w_SpdArray[4] += w_Spd;}
337                         if (!menu2_ON) {
338                             lcd.setCursor(15, 1); lcd.print("E ");}
339                         }
340                         else if (w_value >= 50 && w_value < 75) {
341                             w_dir = "SEE"; w_dirArray[5] += 1;
342                             if (logOn) { w_SpdArray[5] += w_Spd;}
343                             if (!menu2_ON) {
344                                 lcd.setCursor(15, 1); lcd.print("SEE");}
345                             }
346                             else if (w_value >= 165 && w_value < 230) {
347                                 w_dir = "SE"; w_dirArray[6] += 1;
348                                 if (logOn) { w_SpdArray[6] += w_Spd;}
349                                 if (!menu2_ON) {
350                                     lcd.setCursor(15, 1); lcd.print("SE ");}
351                                 }
352                                 else if (w_value >= 115 && w_value < 165) {
353                                     w_dir = "SSE"; w_dirArray[7] += 1;
354                                     if (logOn) { w_SpdArray[7] += w_Spd;}
355                                     if (!menu2_ON) {
356                                         lcd.setCursor(15, 1); lcd.print("SSE");}
357                                     }
358                                     else if (w_value >= 260 && w_value < 350) {
359                                         w_dir = "S"; w_dirArray[8] += 1;
360                                         if (logOn) { w_SpdArray[8] += w_Spd;}
361                                         if (!menu2_ON) {
362                                             lcd.setCursor(15, 1); lcd.print("S ");}
363                                         }
364                                         else if (w_value >= 230 && w_value < 260) {
365                                             w_dir = "SSW"; w_dirArray[9] += 1;
366                                             if (logOn) { w_SpdArray[9] += w_Spd;}
367                                             if (!menu2_ON) {
368                                                 lcd.setCursor(15, 1); lcd.print("SSW");}
369                                             }
370                                             else if (w_value >= 620 && w_value < 700) {
371                                                 w_dir = "SW"; w_dirArray[10] += 1;
372                                                 if (logOn) { w_SpdArray[10] += w_Spd;}
373                                                 if (!menu2_ON) {
374                                                     lcd.setCursor(15, 1); lcd.print("SW ");}
375                                                 }

```

```

376     else if (w_value >= 540 && w_value <= 620) {
377         w_dir = "SWW"; w_dirArray[11] += 1;
378         if (logOn) { w_SpdArray[11] += w_Spd;}
379         if (!menu2_ON) {
380             lcd.setCursor(15, 1); lcd.print("SWW");}
381     }
382     else if (w_value >= 915 && w_value < 1015) {
383         w_dir = "W"; w_dirArray[12] += 1;
384         if (logOn) { w_SpdArray[12] += w_Spd;}
385         if (!menu2_ON) {
386             lcd.setCursor(15, 1); lcd.print("W ");}
387     }
388     else if (w_value >= 820 && w_value < 860) {
389         w_dir = "NWW"; w_dirArray[13] += 1;
390         if (logOn) { w_SpdArray[13] += w_Spd;}
391         if (!menu2_ON) {
392             lcd.setCursor(15, 1); lcd.print("NWW");}
393     }
394     else if (w_value >= 860 && w_value < 915) {
395         w_dir = "NW"; w_dirArray[14] += 1;
396         if (logOn) { w_SpdArray[14] += w_Spd;}
397         if (!menu2_ON) {
398             lcd.setCursor(15, 1); lcd.print("NW ");}
399     }
400     else if (w_value >= 700 && w_value < 775) {
401         w_dir = "NNW"; w_dirArray[15] += 1;
402         if (logOn) { w_SpdArray[15] += w_Spd;}
403         if (!menu2_ON) {
404             lcd.setCursor(15, 1); lcd.print("NNW");}
405     }
406     else {
407         Serial.println(w_value); w_dir = "N/A";if (!menu2_ON) {
408             lcd.setCursor(15, 1); lcd.print("N/A");}
409         digitalWrite(Rled, blinkState);}
410
411     if (!menu2_ON) {
412         lcd.setCursor(9, 1); lcd.print(" ");
413         lcd.setCursor(9, 1); lcd.print(w_Spd);}
414
415 if (logOn && !menu2_ON) {
416 lcd.setCursor(0, 3); lcd.print("LOGGING ON");}
417
418 if (logOn) {
419 w_dirArray[16] += 1;}
420 else {
421 w_dirArray[16] = 0;
422     for (int i = 0; i < 16; i++) {
423         w_SpdArray[i] = 0.0;
424         w_dirArray[i] = 0;}
425 }
426
427 if (w_dirArray[16] == 100) {
428 float maxSampleD = 0.0;
429 w_max = FindMax(w_dirArray,0, 15 );
430 maxSampleD = Int2Float(w_dirArray[w_max]);
431 w_SpdArray[w_max] = (w_SpdArray[w_max] / maxSampleD);
432 int w_old = w_max;
433 CountTrue(&w_max,&w_SpdArray[w_max],gps_Course,gps_Speed);
434
435 if (logOn && !menu2_ON) {
436 lcd.setCursor(9, 2); lcd.print(" ");
437 lcd.setCursor(9, 2); lcd.print(w_SpdArray[w_old]);
438 lcd.setCursor(15, 2); lcd.print(" ");
439 lcd.setCursor(15, 2); lcd.print(w_dirInd[w_max]);

```

```

440 }
441 w_sortArray1[w_max] += 1;
442 w_SpdArray1[w_max] += w_SpdArray[w_old];
443 for (int i = 0; i < 17; i++) {
444     w_dirArray[i] = 0;
445     w_SpdArray[i] = 0.0;
446     bool (blinkState = !blinkState);
447     digitalWrite(Rled, blinkState);}
448 }//if rounds2
449
450 if (!logOn && !logOk) {
451 float MaxSampleD = 0.0;
452 w_SortMax = FindMax(w_sortArray1, 0, 15);
453 MaxSampleD = Int2Float(w_sortArray1[w_SortMax]);
454 w_SpdArray1[w_SortMax] = (w_SpdArray1[w_SortMax] / MaxSampleD);
455 TrueWind = w_SpdArray1[w_SortMax];
456 TrueInd = w_dirInd[w_SortMax];
457 logOk = true;
458 for (int i = 0; i < 16; i++) {
459     w_sortArray1[i] = 0;
460     w_SpdArray1[i] = 0.0;}
461 stopDelay = true;
462 lcd.setCursor(0, 3); lcd.print("NO LOGGING");
463 Serial.print("True wind dir: ");Serial.print(TrueInd);
464 Serial.print(" True wind speed: ");Serial.println(TrueWind);
465 }
466 }//void windDir()
467
468 float Int2Float(int w_max)
469 {
470 float int2fl = 0.0;
471 for (int i=0; i<w_max; i++){
472     int2fl += 1.0;}
473 return int2fl;
474 }
475
476 int FindMax(int Array[], int Start, int Stop){
477 int Loc,Max;
478 Max = Array[Start];
479 Loc = Start;
480 for (int i = Start + 1; i < Stop; i++){
481     if (Array[i] > Max){
482         Max = Array[i];
483         Loc = i;}
484     }
485 return Loc;
486 }
487
488 void CountTrue(int *w_Ind, float *w_Spd, int gps_Ind, float gps_Spd) {
489 float w_x,w_y,g_x,g_y,SinA;
490 int Int, gps_Int,b;
491 float a,c;
492 gps_Int = deg2Int(gps_Ind);
493 //Calculate wind directions N and S, x-vektor 0
494 if (*w_Ind == 0 || *w_Ind == 8) {
495     if (*w_Ind == 0) {
496         if (*w_Spd < gps_Spd) {
497             *w_Spd = (gps_Spd - *w_Spd);
498             *w_Ind = gps_Int + 8;}
499         else {
500             *w_Spd = (*w_Spd - gps_Spd);
501             *w_Ind = gps_Int;}
502     } // N
503 else {

```

```

504     *w_Spd = (gps_Spd + *w_Spd);
505     *w_Ind = gps_Ind + 8; } //S
506 } // 0||8
507
508 //Calculate wind directions E ja W, y-vector = gps_Spd
509 else if (*w_Ind == 4 || *w_Ind == 12) {
510     *w_Spd = sqrt((pow(*w_Spd,2) + pow(gps_Spd,2)));
511     SinA=((sin(gps_Spd / *w_Spd))*(180/3.14));
512     Int = deg2Int(SinA);
513     if (*w_Ind == 4) {
514         *w_Ind = *w_Ind + Int + gps_Ind;
515     } // E
516 else {
517     *w_Ind = *w_Ind - Int + gps_Ind; } //W
518 } // 4||12
519
520 //calculate other directions than N
521 else if ((*w_Ind > 0 && *w_Ind < 4) || (*w_Ind <= 15 && *w_Ind > 12)) {
522     bool North = false;
523     if (*w_Ind > 0 && *w_Ind < 4) {
524         w_x = abs(cos(w_degInd[*w_Ind]) * *w_Spd);
525         w_y = abs(sin(w_degInd[*w_Ind]) * *w_Spd);
526     }
527     else {
528         w_x = abs(cos(360 - w_degInd[*w_Ind]) * *w_Spd);
529         w_y = abs(sin(360 - w_degInd[*w_Ind]) * *w_Spd);
530     }
531     if (w_y < gps_Spd) { //wind less than vessel speed = backwind
532         w_y = (gps_Spd - w_y);
533     }
534     else {
535         w_y = (w_y - gps_Spd); // wind more than vessel speed
536         North = true;
537     }
538     *w_Spd = sqrt((pow(w_x,2) + pow(w_y,2)));
539     SinA=((sin(gps_Spd / *w_Spd))*(180/3.14));
540     Int = deg2Int(SinA);
541     if (*w_Ind > 0 && *w_Ind < 4) {
542         if (North) {
543             *w_Ind = ((*w_Ind + Int) + gps_Ind);
544         }
545         else {
546             Int = 8 - Int;
547             *w_Ind = ((*w_Ind + Int) + gps_Ind);
548             North = false; } //
549         }
550         else {
551             if (North) {
552                 *w_Ind = ((*w_Ind - Int) + gps_Ind);
553             }
554             else {
555                 Int = 8 + Int;
556                 *w_Ind = ((*w_Ind + Int) + gps_Ind);
557                 North = false; } //
558         }
559     } //
560 } // 11-15 & 1-3
561
562 else if ((*w_Ind > 4 && *w_Ind < 8) || (*w_Ind >= 9 && *w_Ind < 12)) {
563     if (*w_Ind > 4 && *w_Ind < 8) {
564         w_x = abs(cos((w_degInd[*w_Ind] - 90)) * *w_Spd);
565         w_y = abs(sin((w_degInd[*w_Ind] - 90)) * *w_Spd);
566     }
567     else {
568         w_x = abs(cos((270 - w_degInd[*w_Ind])) * *w_Spd);
569         w_y = abs(sin((270 - w_degInd[*w_Ind])) * *w_Spd);
570         *w_Spd = sqrt((pow(w_x,2) + pow(w_y + gps_Spd,2)));
571         SinA=((sin(gps_Spd / *w_Spd))*(180/3.14));

```

```

568             Int = deg2Int(SinA);
569             if (*w_Ind > 4 && *w_Ind < 8) {
570                 *w_Ind = ((*w_Ind + Int) + gps_Int); //
571             else {
572                 *w_Ind = ((*w_Ind - Int) + gps_Int); //
573             } // 5-7 & 9-11
574         else{
575             Serial.println("No True vectors calculated! Can't be... :(");
576         if (*w_Ind > 15) {
577             *w_Ind = *w_Ind - 16;}
578         else if (*w_Ind < 1) {
579             *w_Ind = 15 + *w_Ind;}
580         if (*w_Ind > 15) {
581             *w_Ind = *w_Ind - 16;}
582     } // void CountTrue()
583
584     static void GPS() {
585         GPS_s = gps.satellites.value();
586         if (GPS_s > 2 && GPS_s < 7) {
587             analogWrite(Yled, 100); feedGPS(20);}
588         else if (GPS_s >= 7) {
589             analogWrite(Yled, 200); feedGPS(20);}
590         else {
591             feedGPS(50);}
592
593         if (millis() > 5000 && gps.charsProcessed() < 10)
594             Serial.println(F("No GPS data received: check wiring"));
595         float curr_speed = float(gps.speed.mph());
596         if (curr_speed > 2.9) {
597             top_speed = top_speed + curr_speed;
598             sp_count++;
599         }
600         else {
601             top_speed = 0;
602             sp_count = 0;
603             logOn = false;
604             logDelay = true;
605         }
606
607         if (logDelay && !logOn) {
608             if (!stopDelay && (top_speed / sp_count > 2.9)) {
609                 logDelayCount++;
610                 if (logDelayCount == 30) {
611                     Serial.println("logDelay over");
612                     logDelay = false;
613                     logDelayCount = 0;
614                     logOn = true;
615                     logOk = false;
616                 }
617             }
618         }
619
620         if (rounds < r100) {
621             rounds++;
622         }
623         else {
624             rounds = 0;
625             gps_Course = (gps.course.deg());
626             gps_Speed = (((top_speed / sp_count) * 1.852) / 3.6);
627             sp_count = 0;
628             top_speed = 0;
629         }
630     } //GPS()
631

```



```

632 static void feedGPS(unsigned long ms) { //Feeds GPS
633 unsigned long start = millis();
634 do {
635     digitalWrite(Bled, true);
636         while (ss.available()
637             gps.encode(ss.read());
638         }
639     while (millis() - start < ms);
640     digitalWrite(Bled, false);
641 } //feedGPS(xx)
642
643 char printDate(TinyGPSDate &d)
644 {
645     char* Date;
646     if (!d.isValid())
647     {
648         Serial.println(F("Date not valid "));
649     }
650     else
651     {
652         char sz[32];
653         sprintf(sz, "%02d.%02d.%02d ", d.day(), d.month(), d.year());
654         lcd.setCursor(0, 0); lcd.print(sz);
655         if (!logOn && !logOk) {
656             Serial.print(sz); Serial.print(" ");
657         }
658         feedGPS(10);
659     }
660
661 static void printTime(TinyGPSTime &t)
662 {
663     int i;
664     if (!t.isValid())
665     {
666         Serial.println(F("Time not valid"));
667     }
668     else
669     {
670         char sz[32];
671         sprintf(sz, "%02d:%02d ", t.hour(), t.minute());
672         lcd.setCursor(11, 0); lcd.print(sz); lcd.setCursor(17, 0); lcd.print("UTC");
673         if (!logOn && !logOk) {
674             Serial.println(sz);
675             feedGPS(10);
676         }
677 } //void

```